

Moderne Experimentalphysik III: Hadronen und Teilchen (Physik VI)

Thomas Müller, Roger Wolf

3. Juli 2018

INSTITUTE OF EXPERIMENTAL PARTICLE PHYSICS (IETP) – PHYSICS FACULTY



Kapitel 8: Neutrino Physik



Wolfgang Paulis Neutrino-Hypothese

Physikalisches Institut
der Eidg. Technischen Hochschule
Zürich

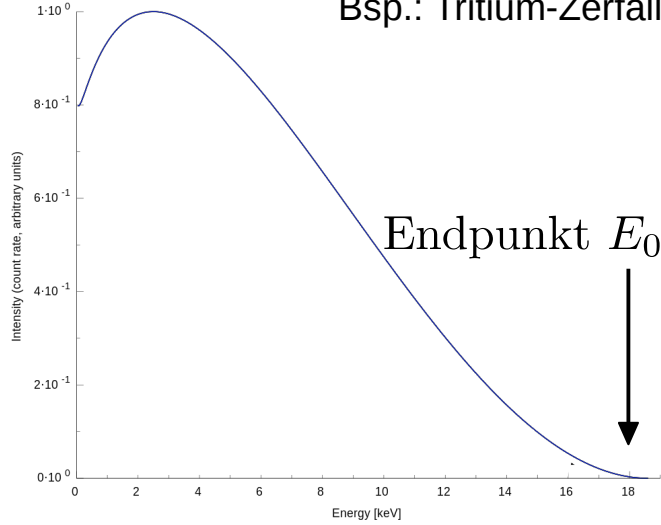
Zürich, 4. Dez. 1930
Gloriastrasse

Liebe Radioaktive Damen und Herren,

Wie der Ueberbringer dieser Zeilen, den ich huldvollst anzuhören bitte, Ihnen des näheren auseinandersetzen wird, bin ich angesichts der "falschen" Statistik der N- und Li-6 Kerne, sowie des kontinuierlichen beta-Spektrums auf einen verzweifelten Ausweg verfallen um den "Wechselsatz" (1) der Statistik und den Energiesatz zu retten. Nämlich die Möglichkeit, es könnten elektrisch neutrale Neutronen nennen will, in den Kernen existieren, in 1/2 haben und das Ausschliessungsprinzip befolgen und konstanten müssen dem noch dadurch unterscheiden, dass sie

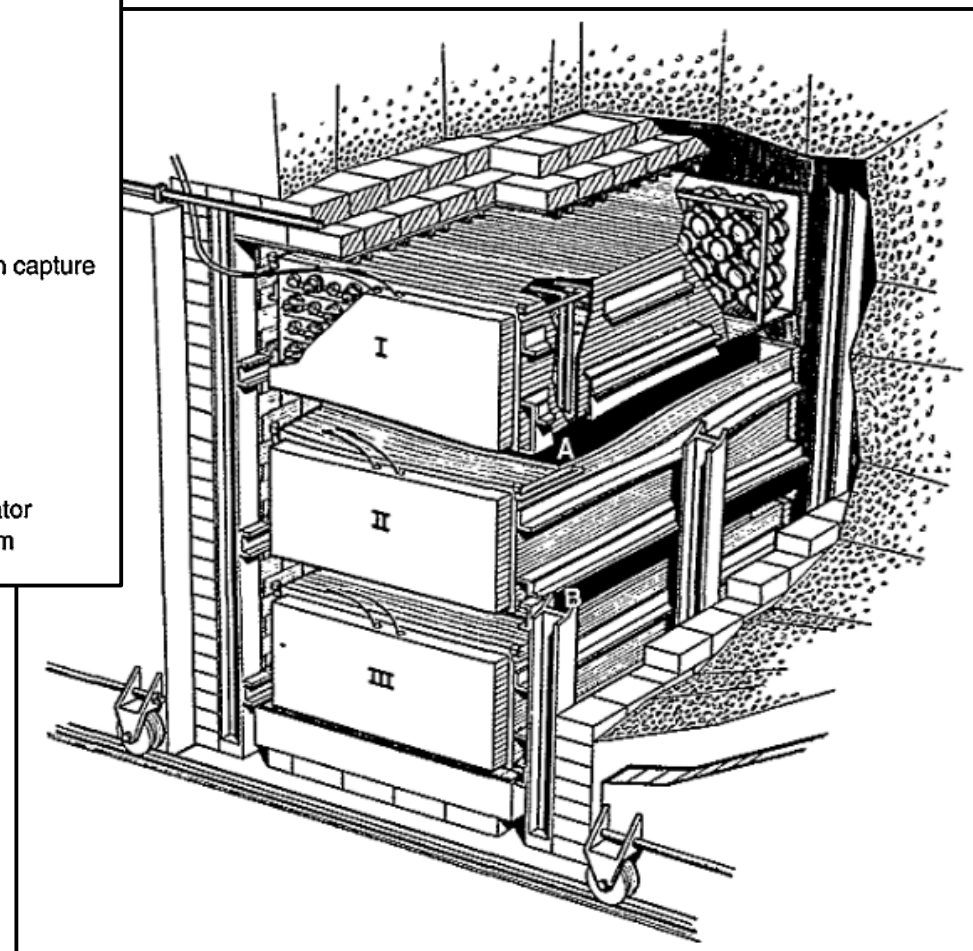
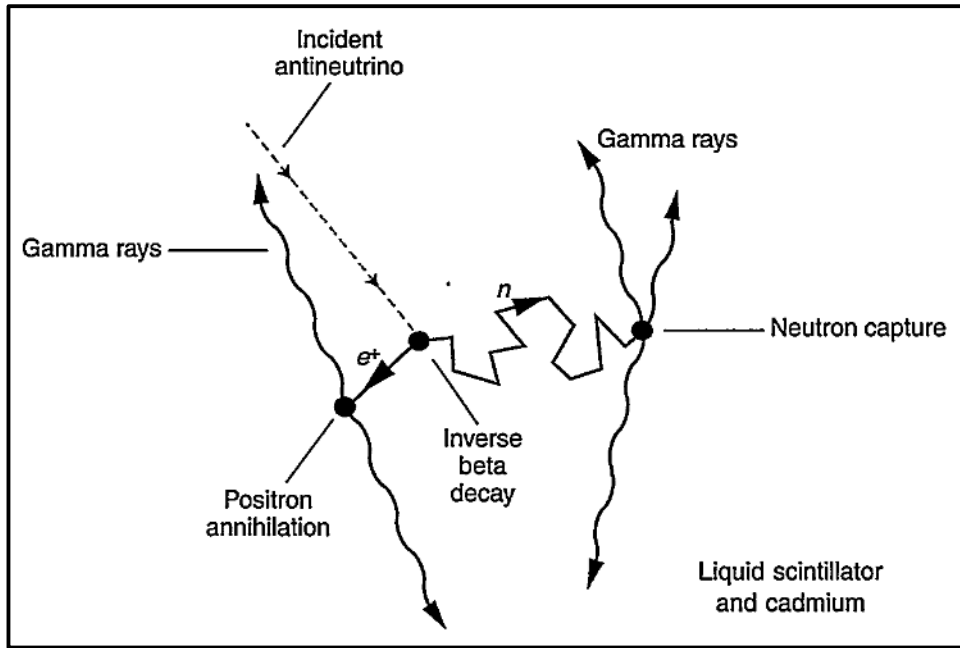
Kontinuierliches Spektrum
des β -Zerfalls

Bsp.: Tritium-Zerfall



Neutrinonachweis

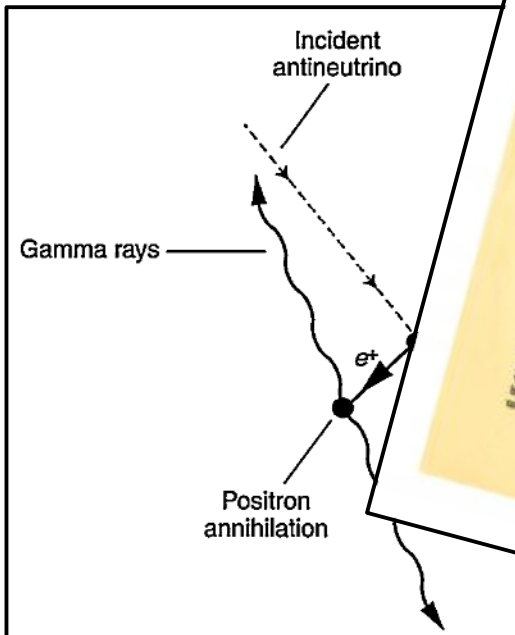
- Durch **inversen β -Zerfall**. (Anti-)Neutrinoquelle: Kernreaktor in Savannah River USA (F. Reines, C. Cowan 1956)



- Nachweis der 511 keV Photon-Koinzidenz der e^+e^- -Annihilation (+ charakteristische Röntgenstrahlung aus Neutroneneinfang)

Neutrino nachweis

- Durch **inversen** β -Zerfall USA (F. Reines, C. Cowan)



- Nachweis der 511 keV Photon-Koinkidenz der e^+e^- -Annihilation (+ charakteristische Röntgenstrahlung aus Neutroneinfang)

Savannah River

Friedrich REINES and Clyde COVAN
Box 1663, LOS ALAMOS, New Mexico

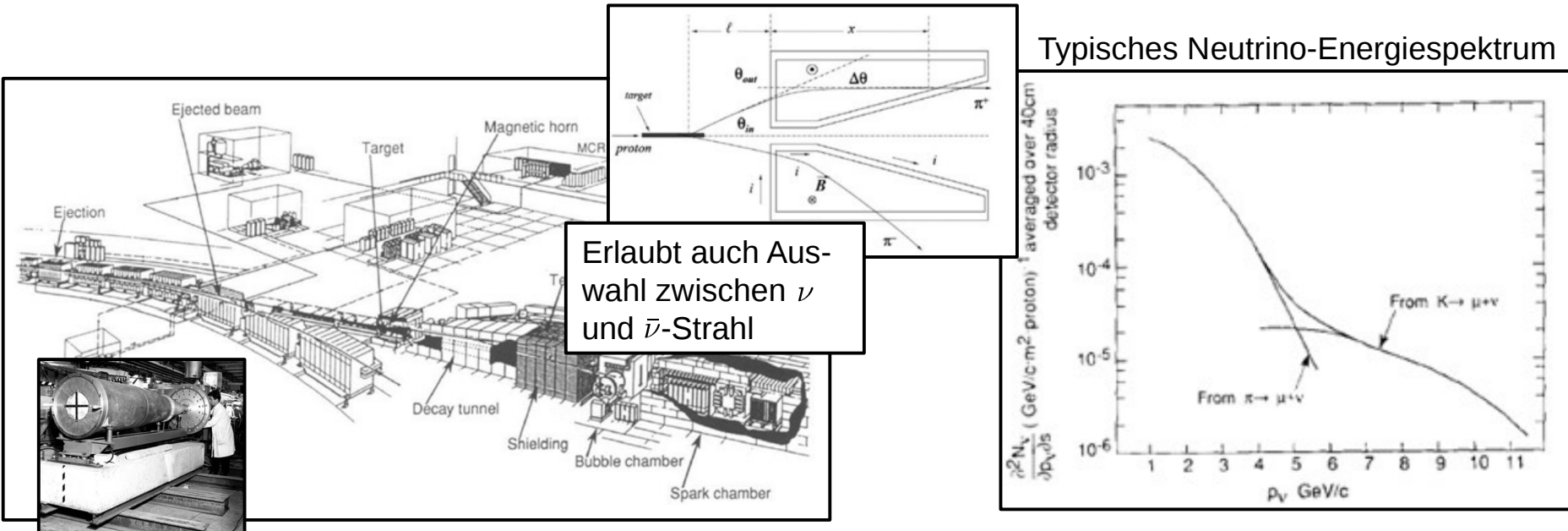
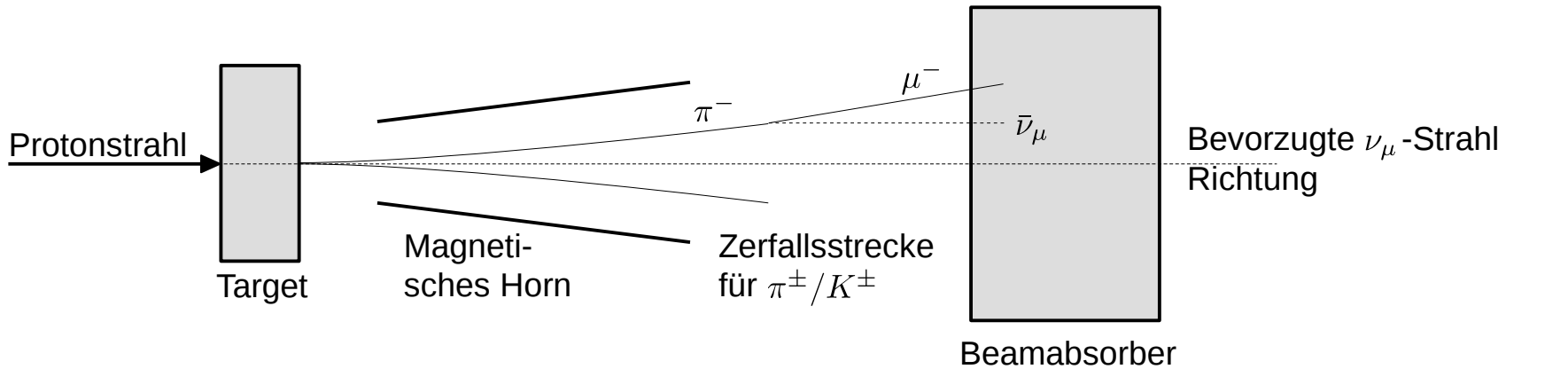
Thanks for message. Everything comes to
man who knows how to wait.

Pauli

Vorlage für Nachweis aller weiteren Neutrino- Generationen

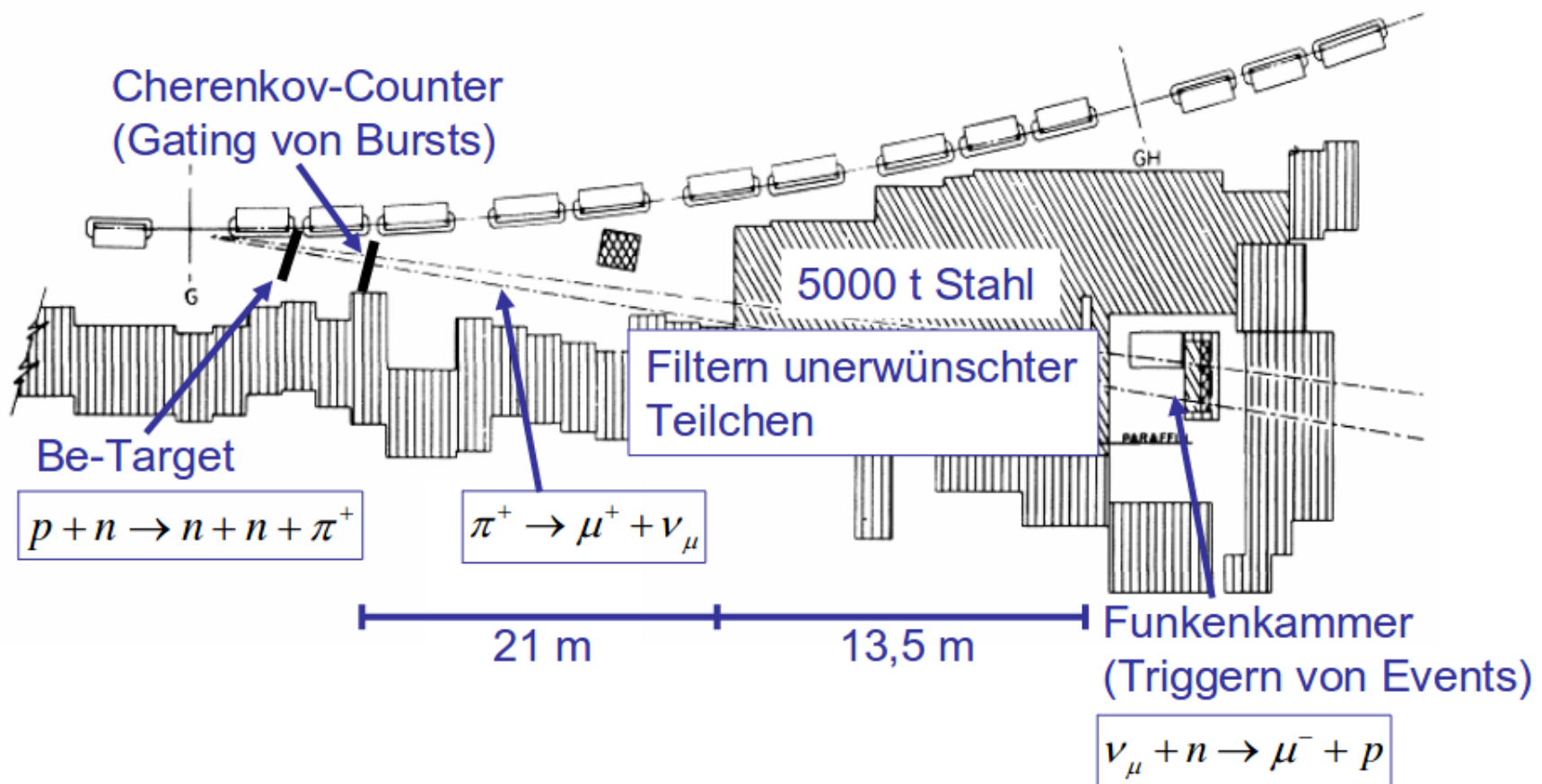
Erzeugung eines fokussierten Myonstrahls

- **Fokussierung Neutrinostrahl** (soweit möglich) durch **magnetisches Horn** (Simon van der Meer; fokussiere π^\pm/K^\pm -Strahl von bestimmer Energie)



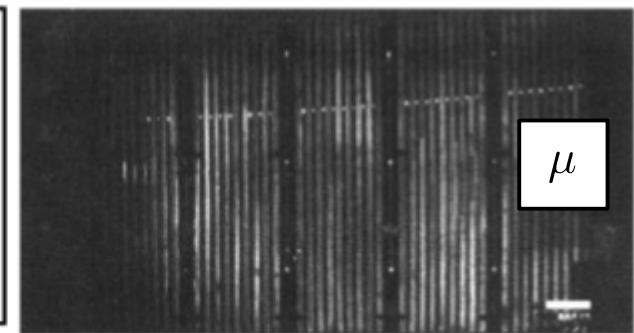
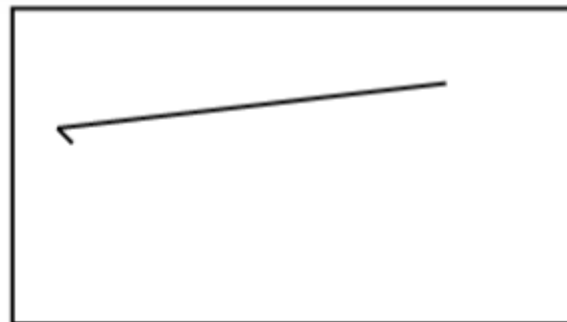
Nachweis Myon-Neutrinos

- AGS Beschleuniger am BNL (Lederman, Schwartz, Steinberger, 1962)
- Hier: 15 GeV Protonen auf Be-Target → Erzeugung von $\pi^\pm \rightarrow \mu^\pm \nu_\mu$

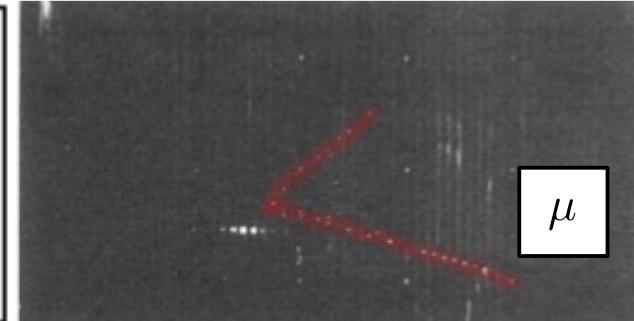
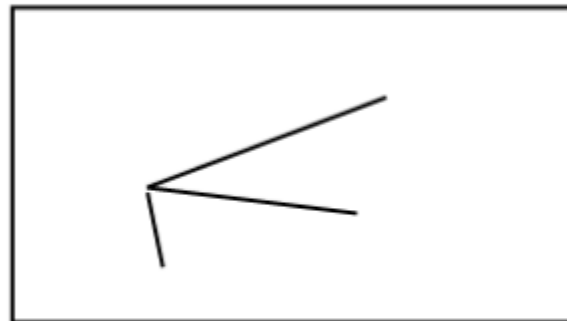


Ereignis-Klassifikation

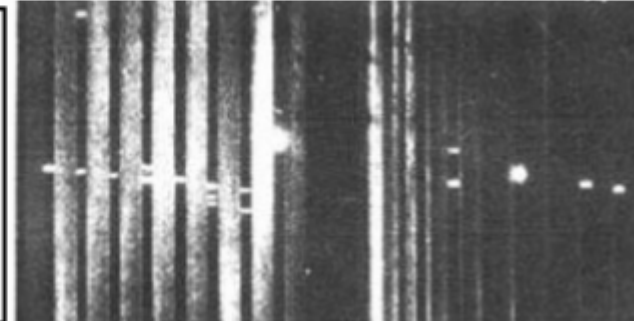
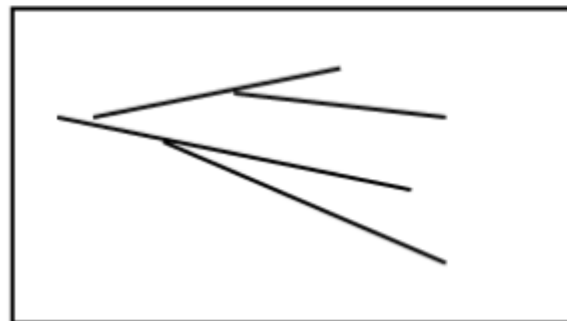
- Single long/short track event



- Vertex event



- Shower event (e oder p)

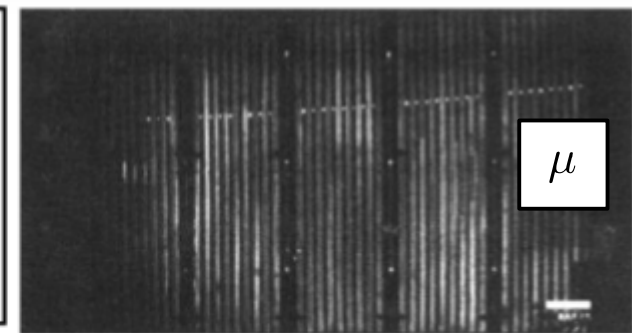
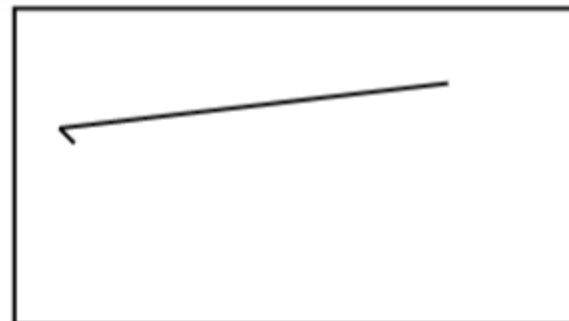


Ereignis-Klassifikation

- Single long/short track event

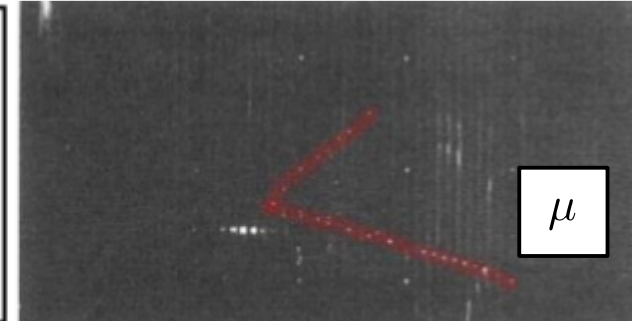
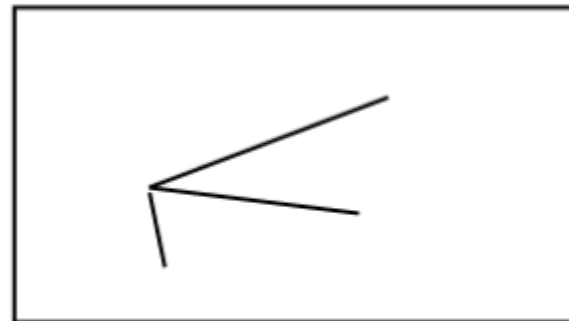
49 evts (short single track)

34 evts (long single track)



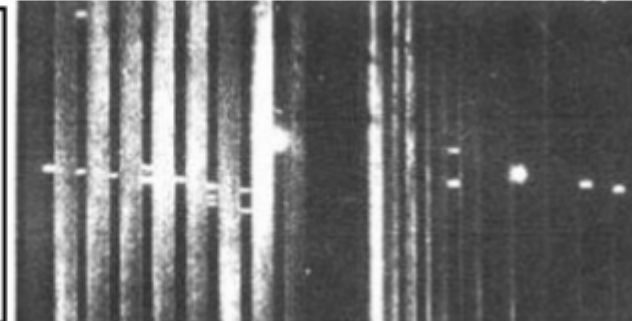
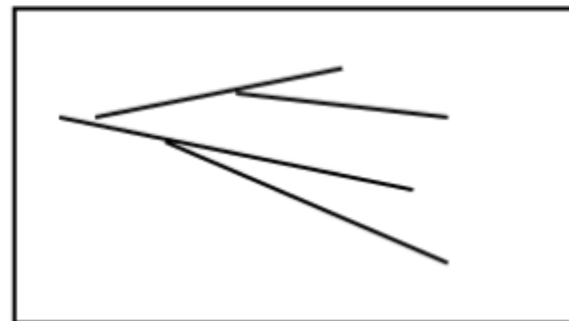
- Vertex event

22 evts



- Shower event (e oder p)

8 evts

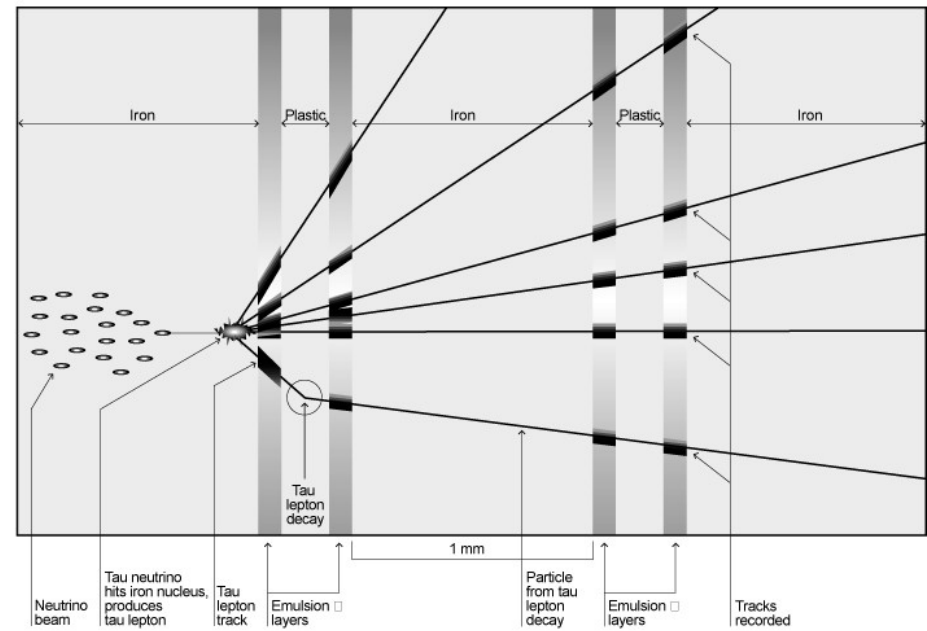


56 evts (klar identifiziert mit Myonen)

Signifikant größerer Nachweis von Myonen als von Elektronen $\rightarrow \nu_\mu \neq \nu_e$

Nachweis Tau-Neutrinos

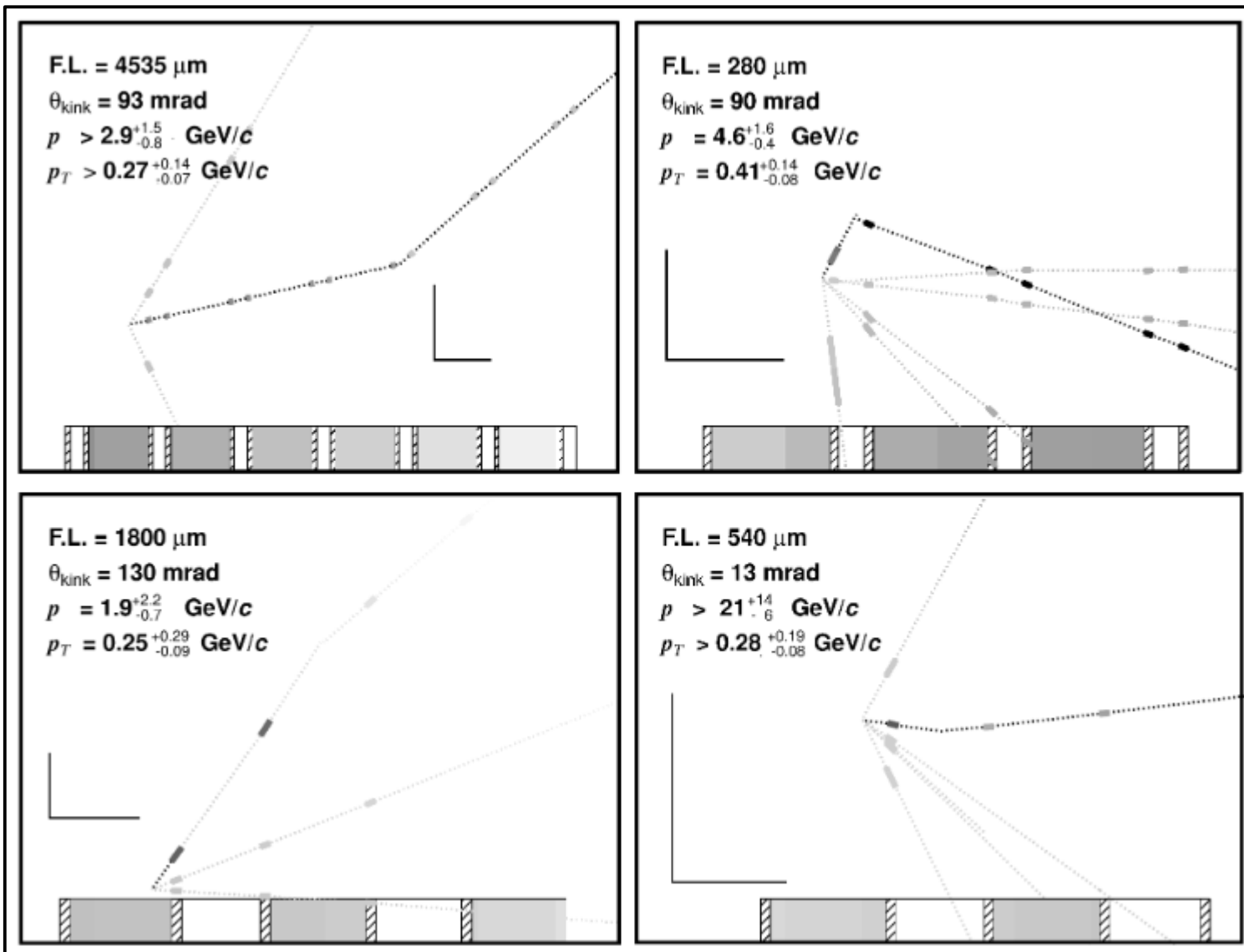
- Nach Entdeckung des τ -Leptons ([SLAC 1979, Martin L. Perl](#)) → schwacher Isospin Partner erwartet
- Erzeugung eines fokussierten ν_τ -Strahls (vgl [Folie 5](#))
 - Hier: 800 GeV Protonen auf W-Target → Erzeugung von $D_s^\pm \rightarrow \tau^\pm \nu_\tau$
- Nachweis mit Detektor Donut ([FNAL, 2000](#))
 - $\nu_\tau + n \rightarrow \tau^- + p$
 - $\bar{\nu}_\tau + p \rightarrow \tau^+ + n$
 - $\tau \rightarrow \mu \nu \nu$ BR 18%
 - $\tau \rightarrow e \nu \nu$ BR 18%
 - $\tau \rightarrow \text{single track } \nu$ BR 86%
 - $c\tau_\tau = 86 \mu m$; $\gamma c\tau_\tau \approx 2.3 \text{ mm}$
(in Donut)
 - Spur mit **frühem Knick** in Emulsion mit hoher räumlicher Auflösung



Of one million million tau neutrinos crossing the DONUT detector, scientists expect about one to interact with an iron nucleus.

Nachweis Tau-Neutrinos

Die vier Kandidaten zur Zeit der
Veröffentlichung der Entdeckung



Neutrinoquellen

Neutrinos aus Urknall

- Hoher Fluß
- Niedrige Energie
- Noch nicht direkt nachgewiesen

Kernfusion in Sternen
& Supernovae

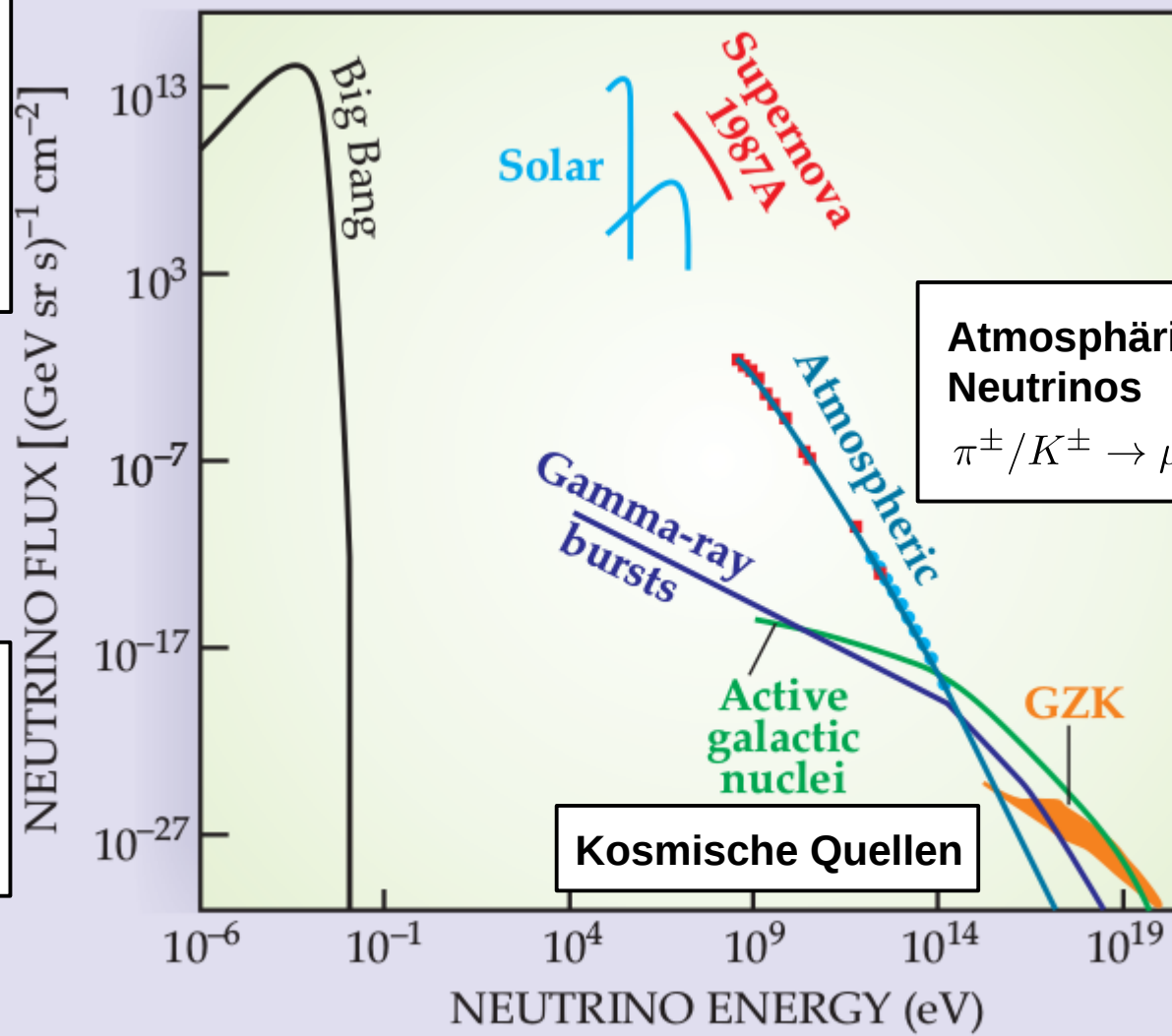
Menschliche Quellen

- Reaktorneutrinos
- Beschleuniger

Atmosphärische Neutrinos

$$\pi^\pm / K^\pm \rightarrow \mu^\pm \nu_\mu$$

Kosmische Quellen



Neutrinoquellen

Neutrinos aus Urknall

- Hoher Fluß
- Niedrige Energie
- Noch nicht direkt nachgewiesen

Kernfusion in Sternen & Supernovae

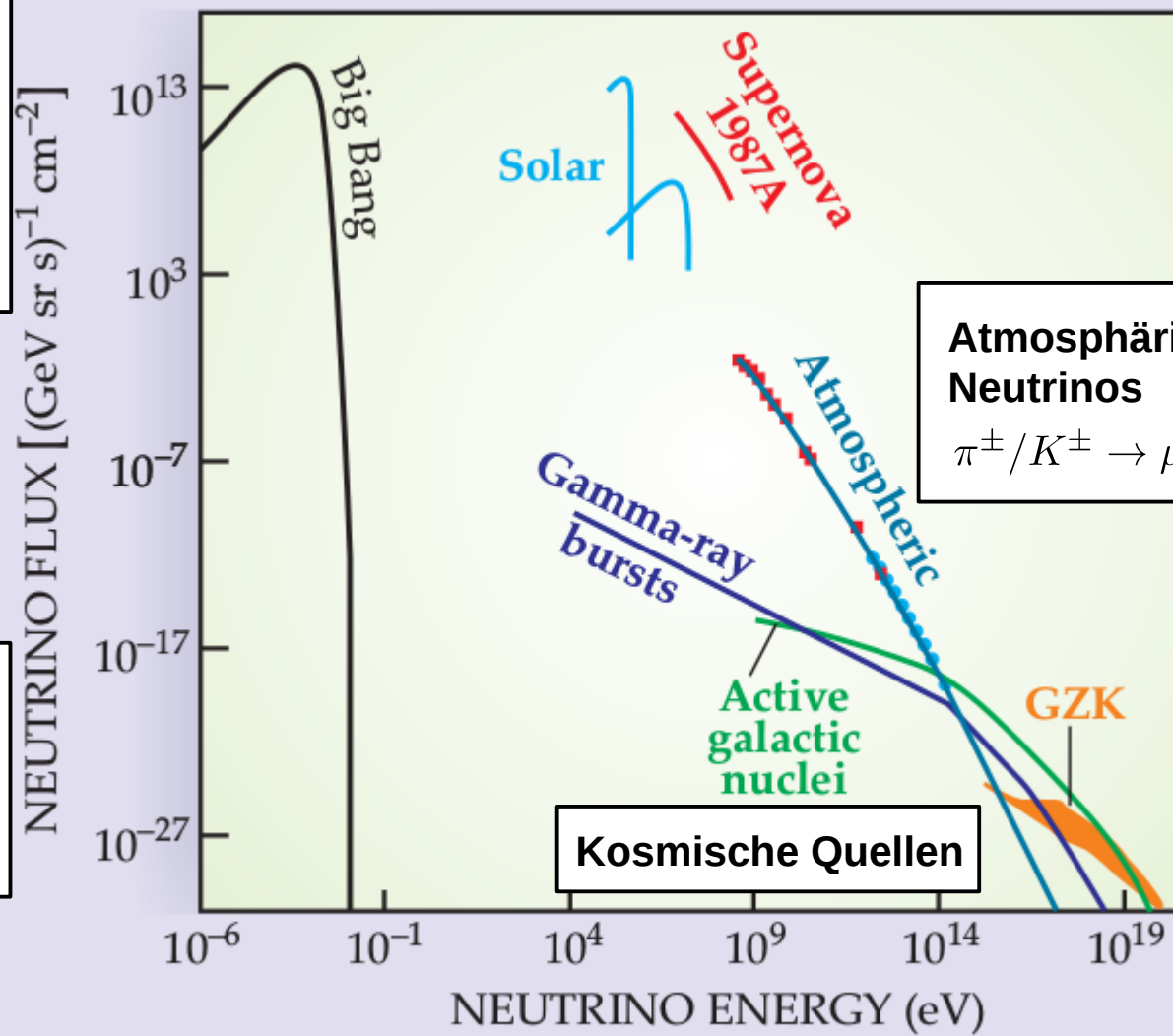
Menschliche Quellen

- Reaktorneutrinos
- Beschleuniger

Atmosphärische Neutrinos

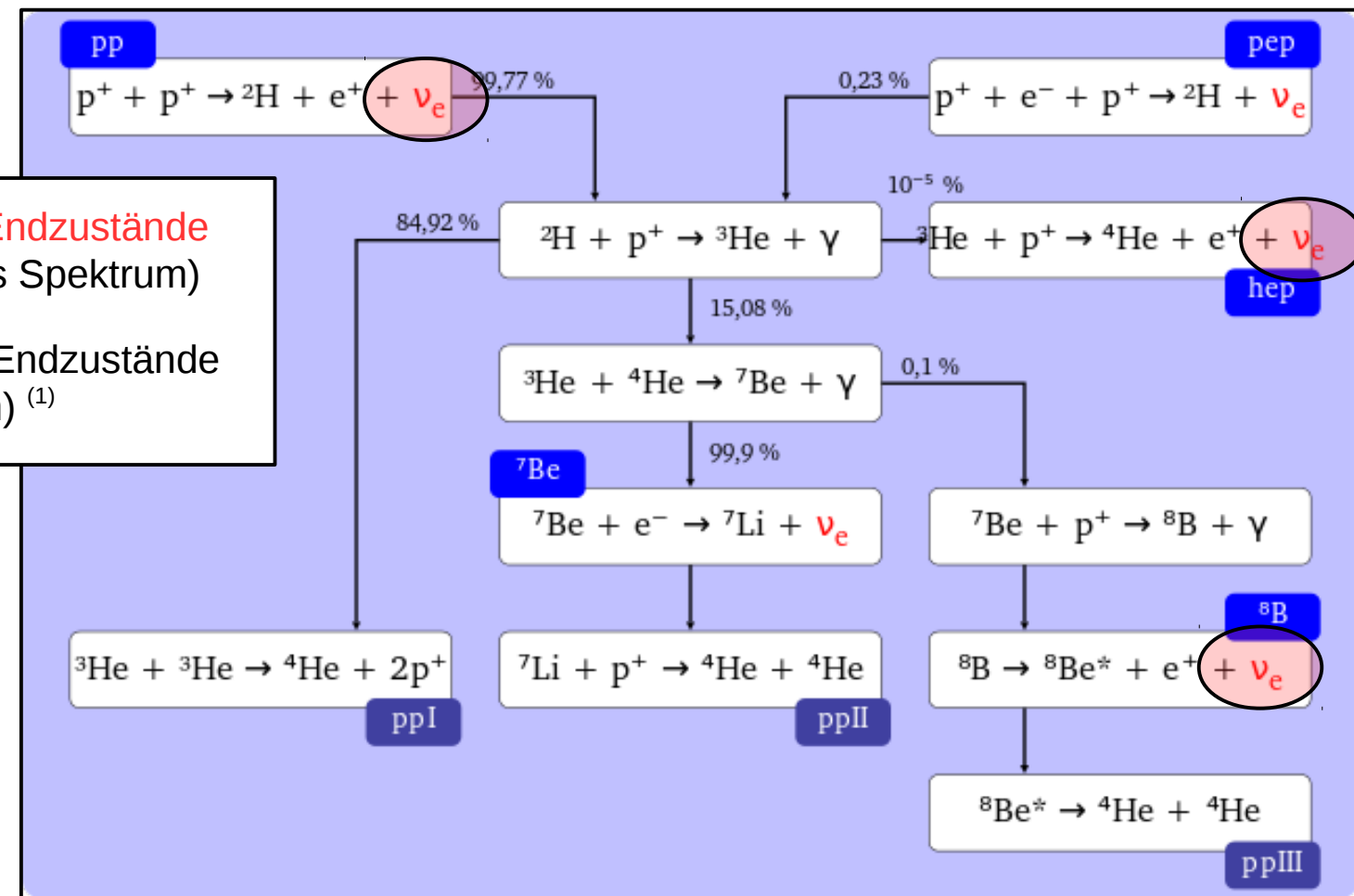
$$\pi^\pm / K^\pm \rightarrow \mu^\pm \nu_\mu$$

Kosmische Quellen



Neutrinos aus der Sonne

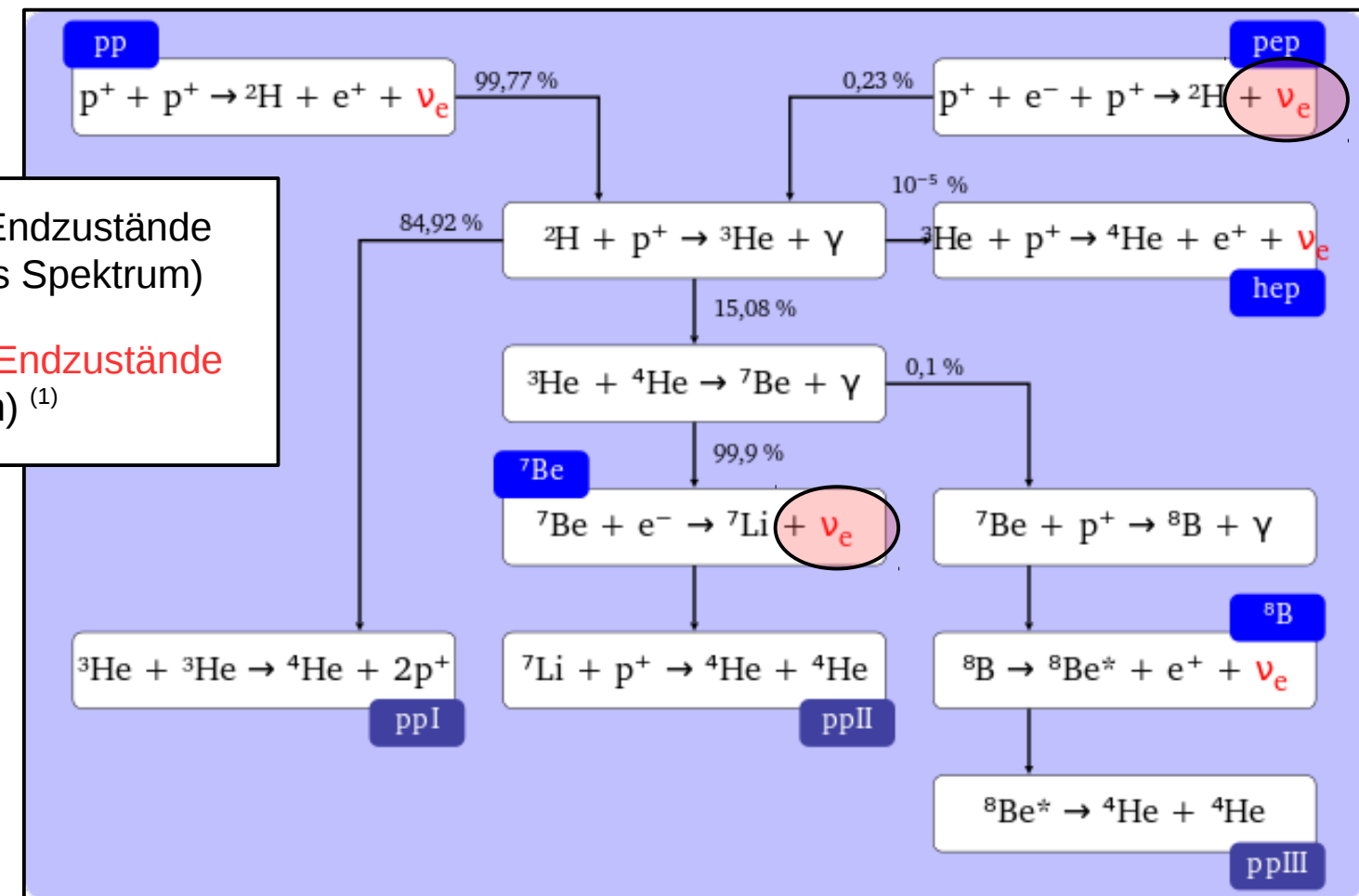
- Drei-Teilchen-Endzustände
(kontinuierliches Spektrum)
- Zwei-Teilchen-Endzustände
(diskrete Linien)⁽¹⁾



⁽¹⁾ Wenn der Prozess an der Produktionsschwelle stattfindet, was jedoch der Fall ist (siehe SS-17 VL-14 Folie 22)

Neutrinos aus der Sonne

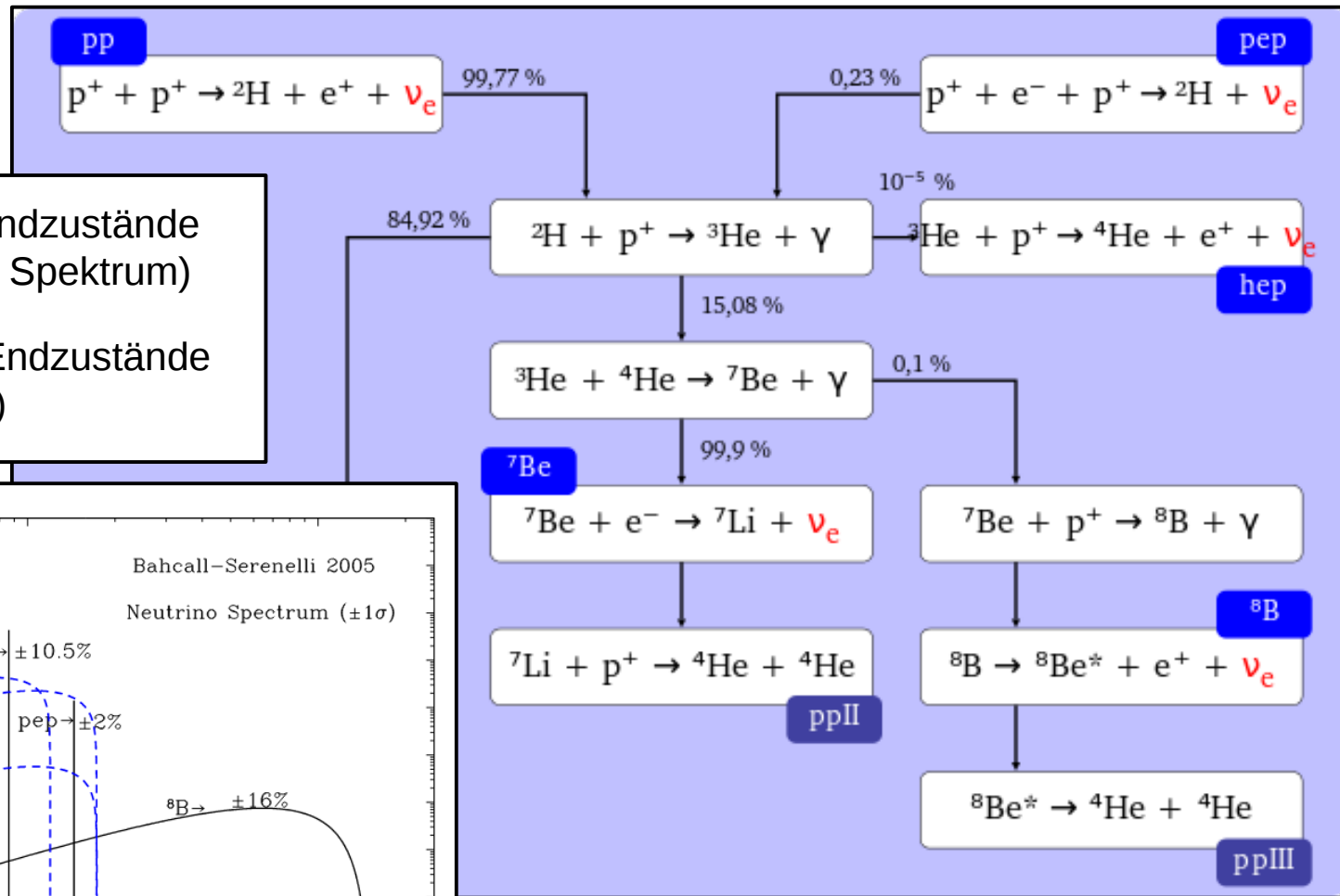
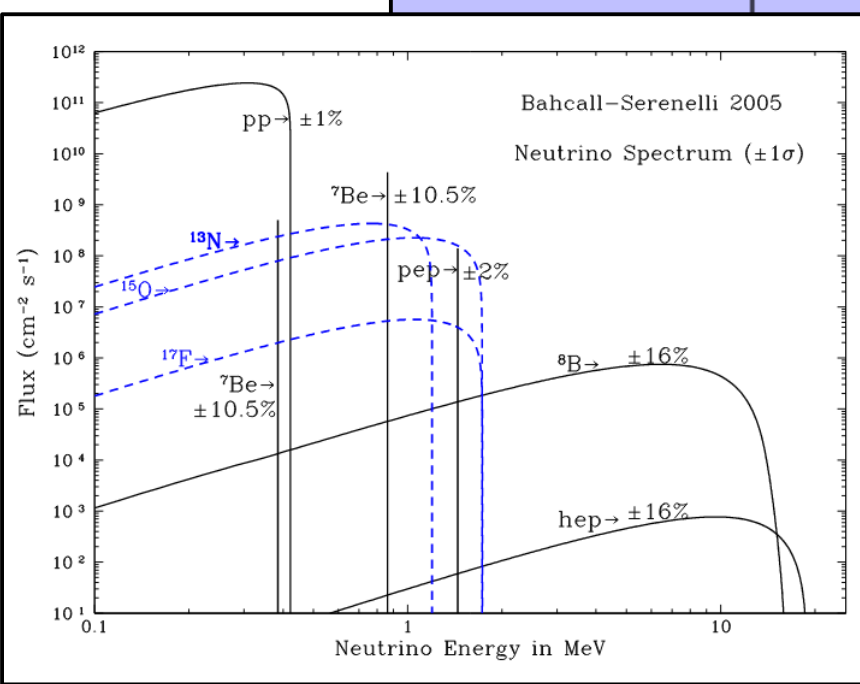
- Drei-Teilchen-Endzustände
(kontinuierliches Spektrum)
- Zwei-Teilchen-Endzustände
(diskrete Linien)⁽¹⁾



⁽¹⁾ Wenn der Prozess an der Produktionsschwelle stattfindet, was jedoch der Fall ist (siehe SS-17 VL-14 Folie 22)

Neutrinos aus der Sonne

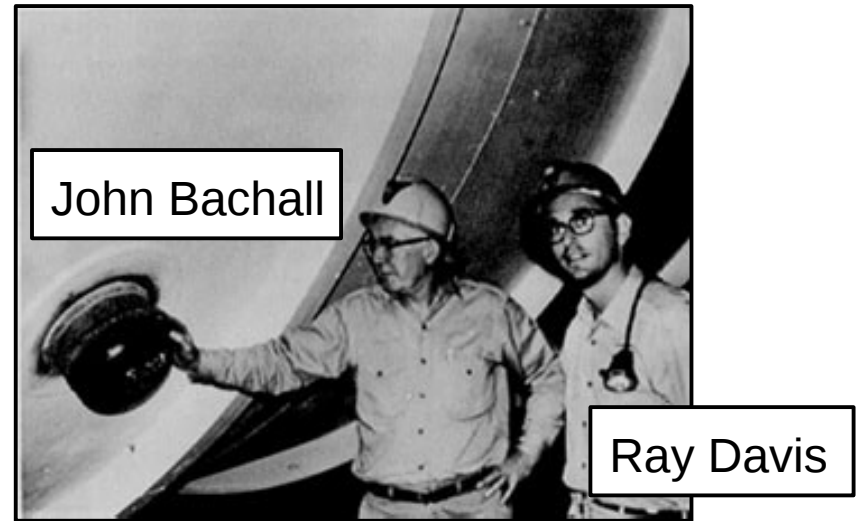
- Drei-Teilchen-Endzustände (kontinuierliches Spektrum)
- Zwei-Teilchen-Endzustände (diskrete Linien)



→ Weites Energiespektrum

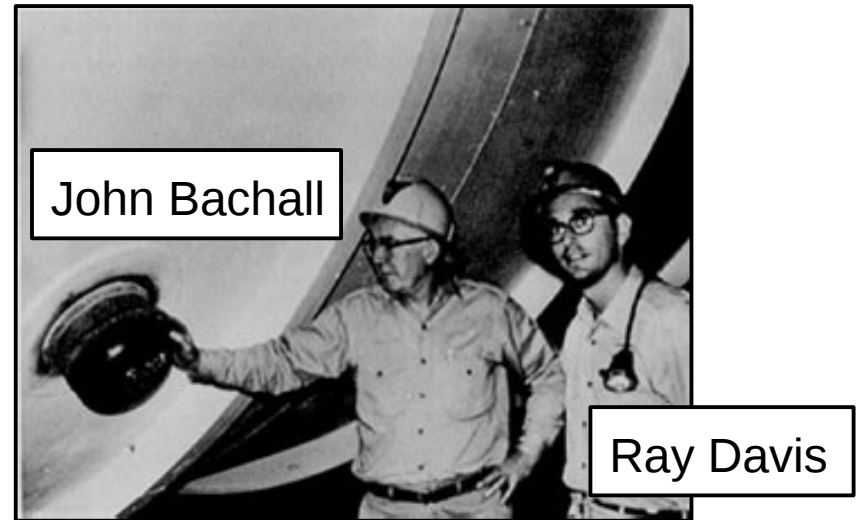
Homestake Experiment

- Erstes Experiment zur **Vermessung des solaren Neutrinoflusses**
- Herausforderung: untergrundfreies Meßverfahren für sehr **seltene Ereignisse**
- Tank mit 615 t Tetrachlorethylen in 1478 m tiefer Homestake Goldmine
- Nachweisreaktion: $^{37}Cl + \nu_e \rightarrow ^{37}Ar + e^-$
- ^{37}Ar zerfällt mit $T_{1/2} = 35$ d zurück in $^{37}Cl^*$
- Alle paar Wochen: Ausspülen des Tanks mit H_e und Aufsammeln des ^{37}Ar in einer Kühlfalle
- Erwarte **~1 Neutrino/Tag** → Auswaschen und Nachweis von $\mathcal{O}(10)$ Argonkernen pro Meßperiode



Homestake Experiment

- Erstes Experiment zur **Vermessung des solaren Neutrinoflusses**
- Herausforderung: untergrundfreies
Meßverfahren für sehr **seltene Ereignisse**
- Tank mit 615 t Tetrachlorethylen in 1478 m
tiefer Homestake Goldmine
- Nachweisreaktion: $^{37}Cl + \nu_e \rightarrow ^{37}Ar + e^-$
- ^{37}Ar zerfällt mit $T_{1/2} = 35$ d zurück in $^{37}Cl^*$
- Alle paar Wochen: Ausspülen des Tanks
mit H_e und Aufsammeln des ^{37}Ar in einer
Kühlfalle
- Erwarte **~1 Neutrino/Tag** → Auswaschen
und Nachweis von $\mathcal{O}(10)$ Argonkernen pro
Meßperiode

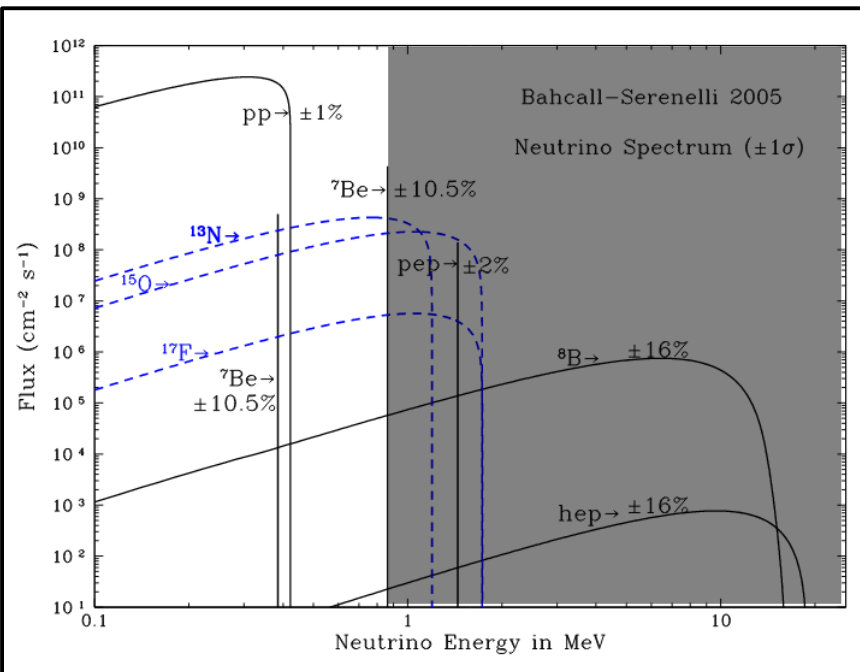


Überraschendes Ergebnis:
nur **~1/3 des erwarteten**
Flusses beobachtet

Experimente zum Nachweis von Sonnenneutrinos

Homestake Experiment

- Radiochemisch
- $^{37}Cl + \nu_e \rightarrow ^{37}Ar + e^-$
- 814 keV $\rightarrow ^7Be$ -Neutrinos



→ Weites Energiespektrum

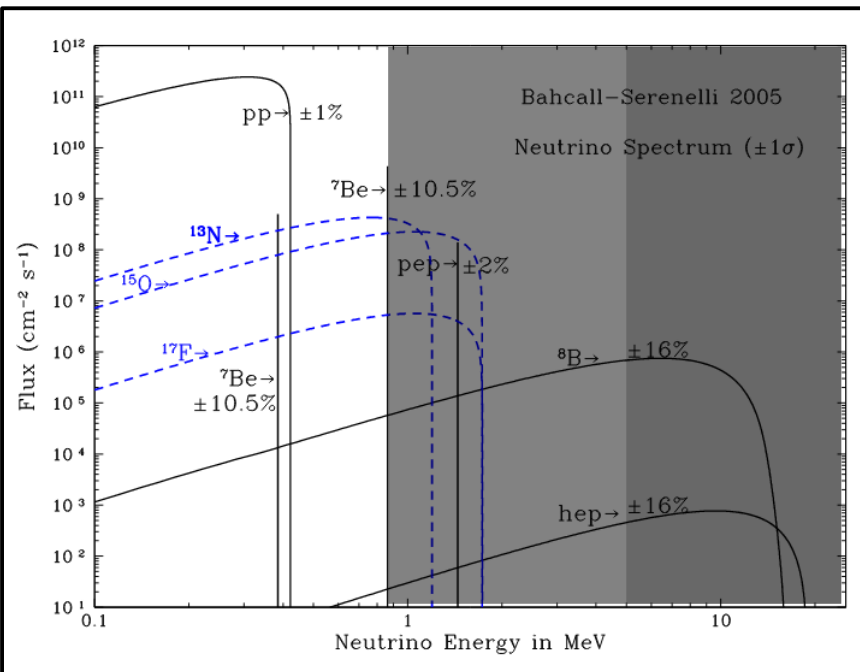
Experimente zum Nachweis von Sonnenneutrinos

Super-Kamiokande

- Wasser Cherenkov ([VL-06 Folie 8](#))
- 5 MeV $\rightarrow {}^8B$ -Neutrinos

Homestake Experiment

- Radiochemisch
- ${}^{37}Cl + \nu_e \rightarrow {}^{37}Ar + e^-$
- 814 keV $\rightarrow {}^7Be$ -Neutrinos



→ Weites Energiespektrum

Experimente zum Nachweis von Sonnenneutrinos

Super-Kamiokande

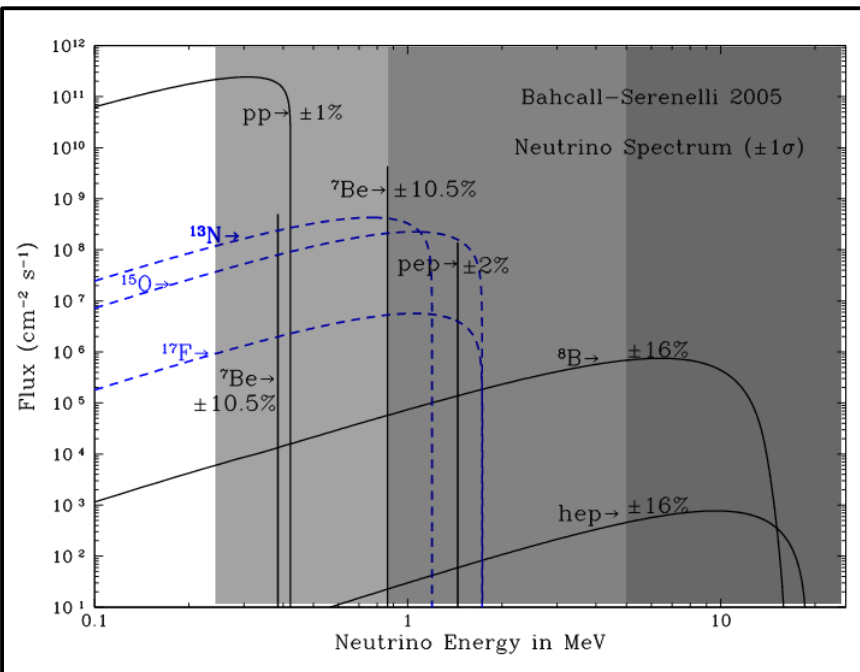
- Wasser Cherenkov ([VL-06 Folie 8](#))
- 5 MeV → 8B -Neutrinos

Homestake Experiment

- Radiochemisch
- $^{37}Cl + \nu_e \rightarrow ^{37}Ar + e^-$
- 814 keV → 7Be -Neutrinos

Gallex/SAGE

- Radiochemisch
- $^{71}Ga + \nu_e \rightarrow ^{71}Ge + e^-$
- 233 keV → pp-Neutrinos



→ Weites Energiespektrum

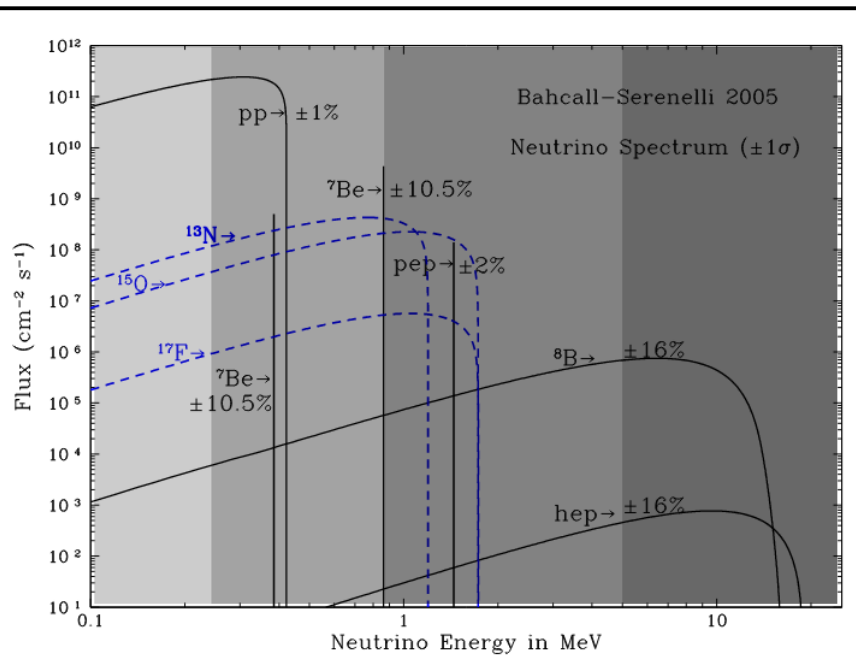
Experimente zum Nachweis von Sonnenneutrinos

Super-Kamiokande

- Wasser Cherenkov ([VL-05 Folie 5](#))
- 5 MeV → 8B -Neutrinos

Homestake Experiment

- Radiochemisch
- $^{37}Cl + \nu_e \rightarrow ^{37}Ar + e^-$
- 814 keV → 7Be -Neutrinos



Gallex/SAGE

- Radiochemisch
- $^{71}Ga + \nu_e \rightarrow ^{71}Ge + e^-$
- 233 keV → pp-Neutrinos

Borexino

- Szintillator
- $\nu_x + e^- \rightarrow \nu_x + e^-$
- 50 keV → pp-Neutrinos

→ Weites Energiespektrum

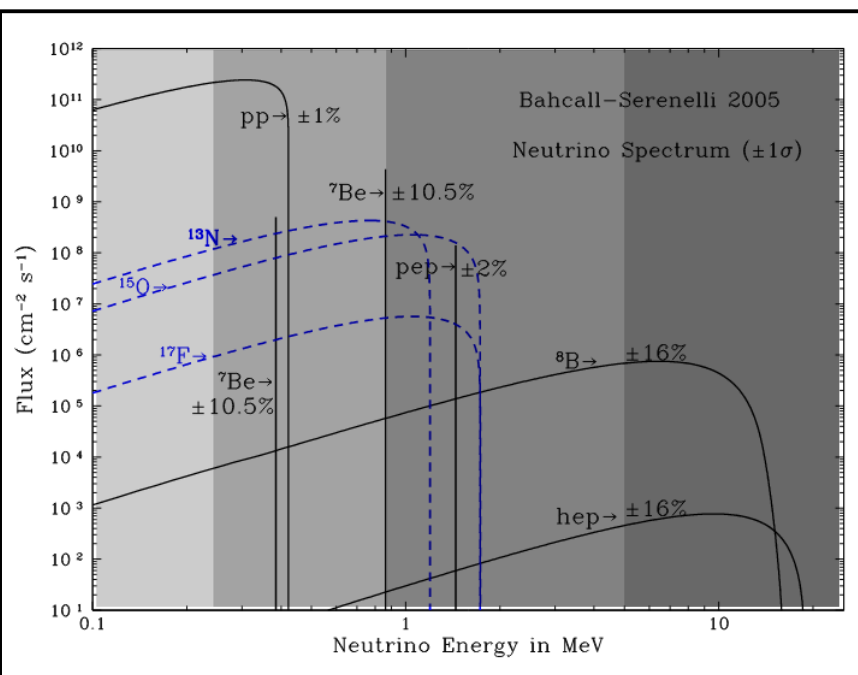
Experimente zum Nachweis von Sonnenneutrinos

Super-Kamiokande

- Wasser Cherenkov ([VL-05 Folie 5](#))
- 5 MeV → 8B -Neutrinos

Homestake Experiment

- Radiochemisch
- $^{37}Cl + \nu_e \rightarrow ^{37}Ar + e^-$
- 814 keV → 7Be -Neutrinos



Gallex/SAGE

- Radiochemisch
- $^{71}Ga + \nu_e \rightarrow ^{71}Ge + e^-$
- 233 keV → pp-Neutrinos

Borexino

- Szintillator
- $\nu_x + e^- \rightarrow \nu_x + e^-$
- 50 keV → pp-Neutrinos

Gleiches Ergebnis über
volles Energiespektrum

→ Weites Energiespektrum

Judgment
call

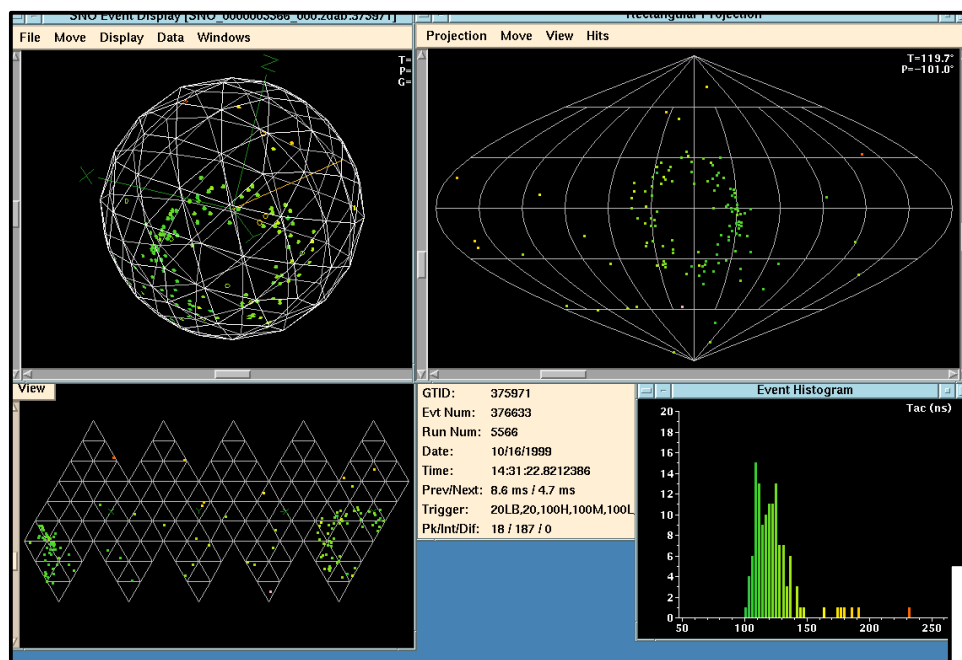
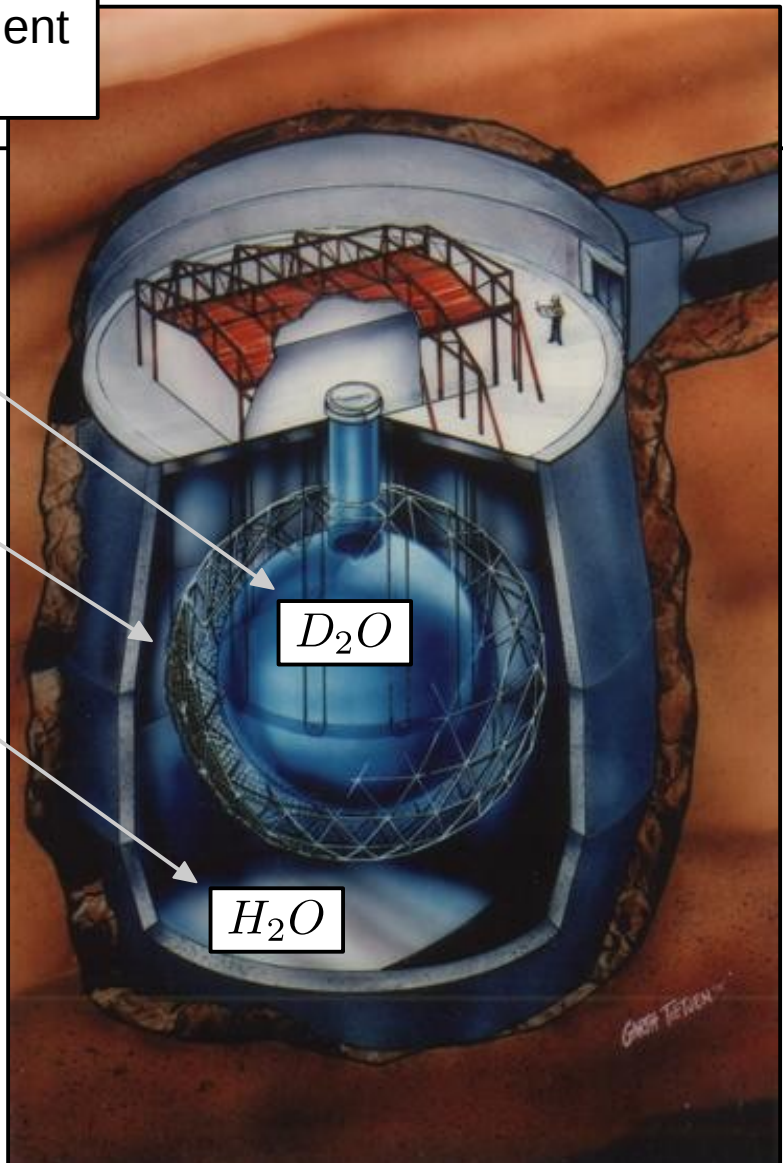
SNO Experiment

- Nachweis der Neutrinos durch **Cherenkovstrahlung** in schwerem Wasser (D_2O)

12 m Durchmesser

9450 PM & Reflektoren

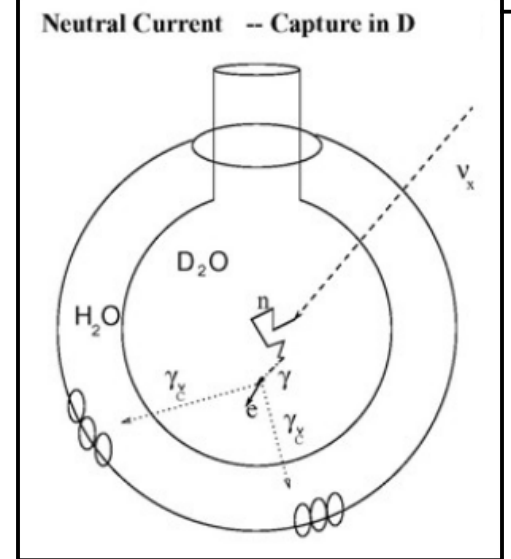
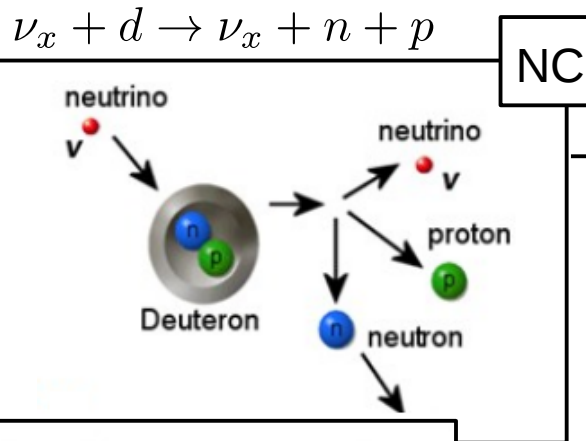
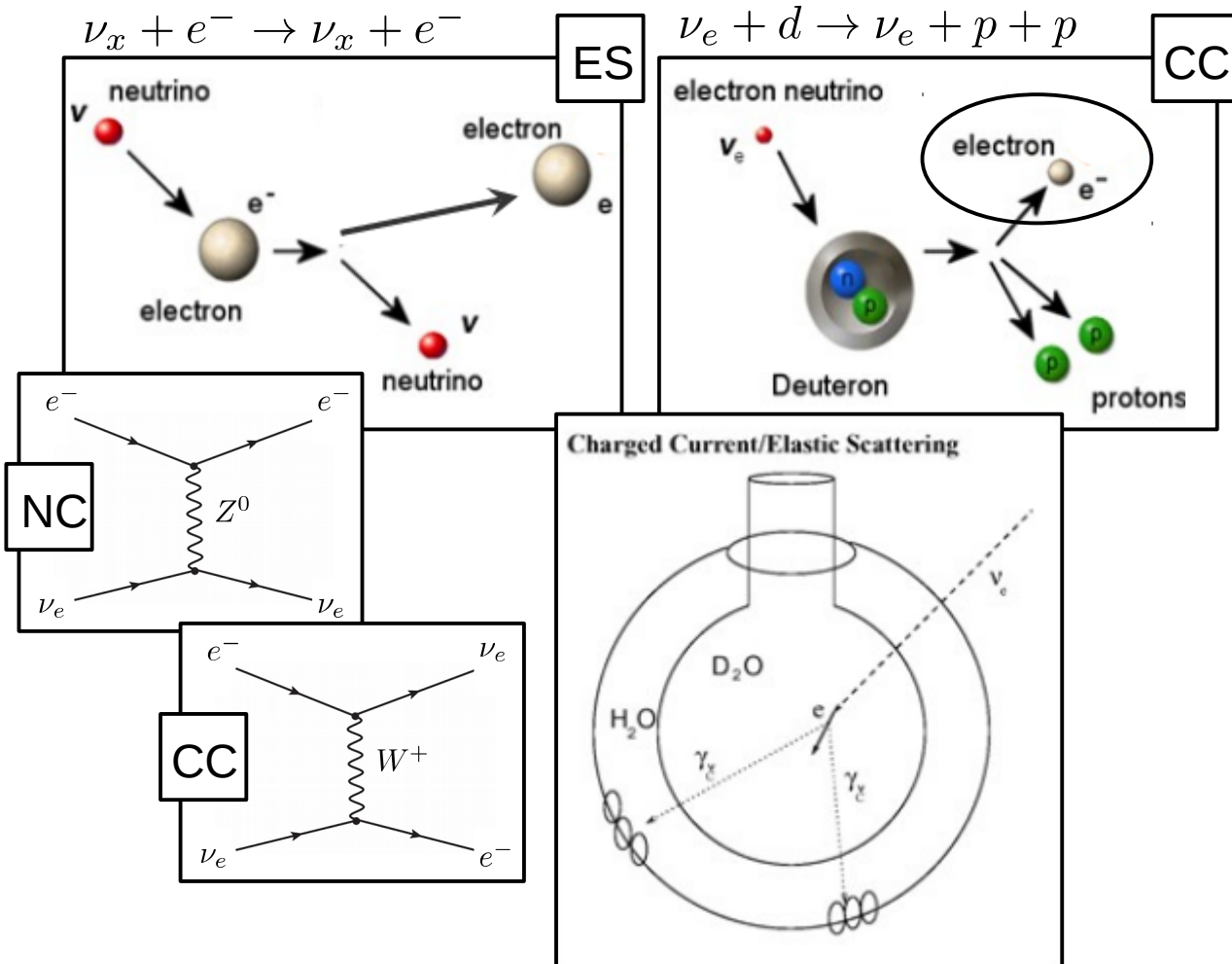
25 m Durchmesser Hohlraum
(gefüllt mit H_2O)



→ ν_e schlägt e^- aus
→ schnelles e^- erzeugt Cherenkovstrahlung

Typischerweise ~50 detektierte Photonen pro Ereignis

Unterscheidung von NC und CC

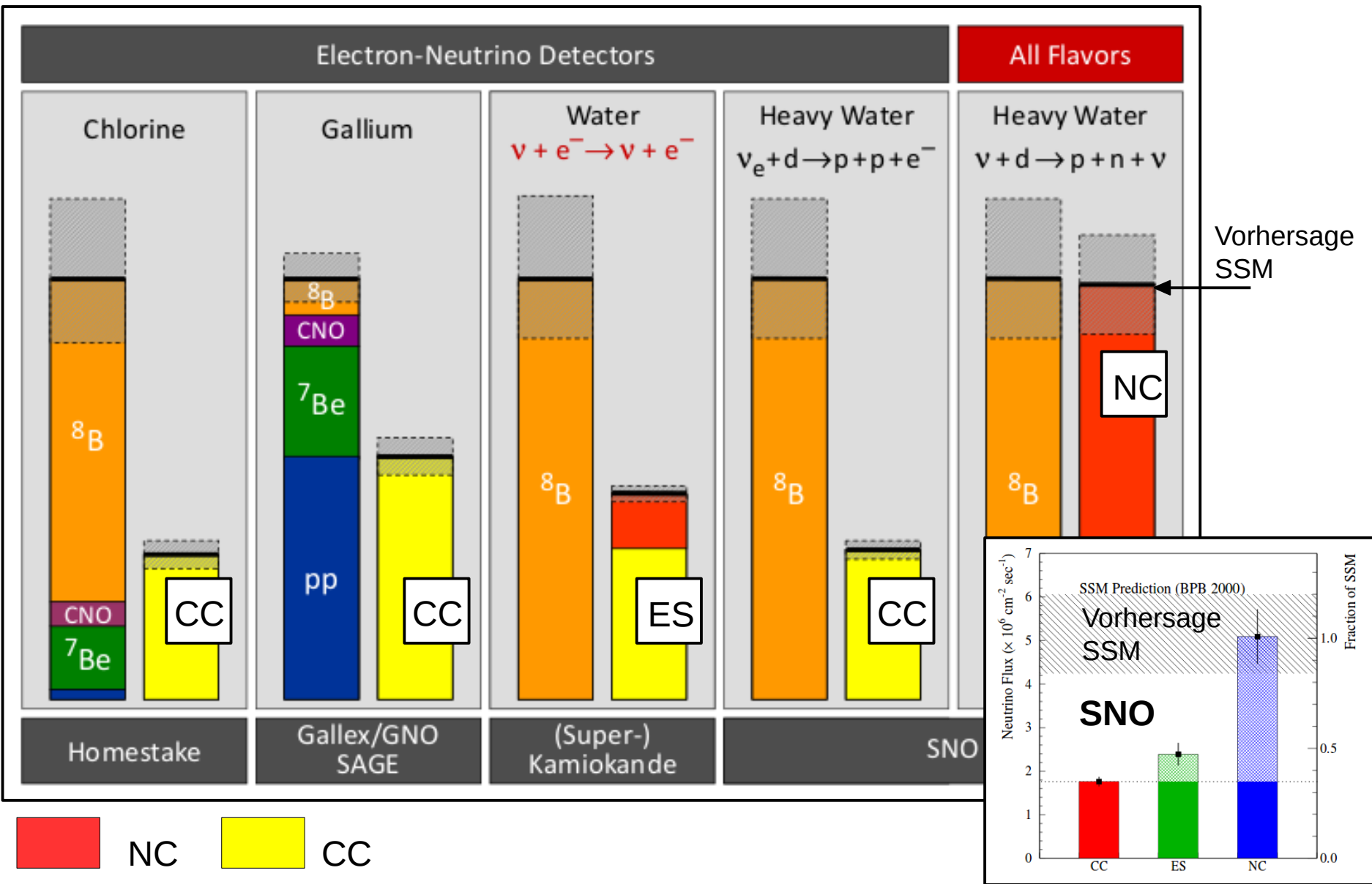


$$n + d \rightarrow t + \gamma(6.25 \text{ MeV})$$

Später: Einfang durch ^{35}Cl und durch eigene 3He Detektoren

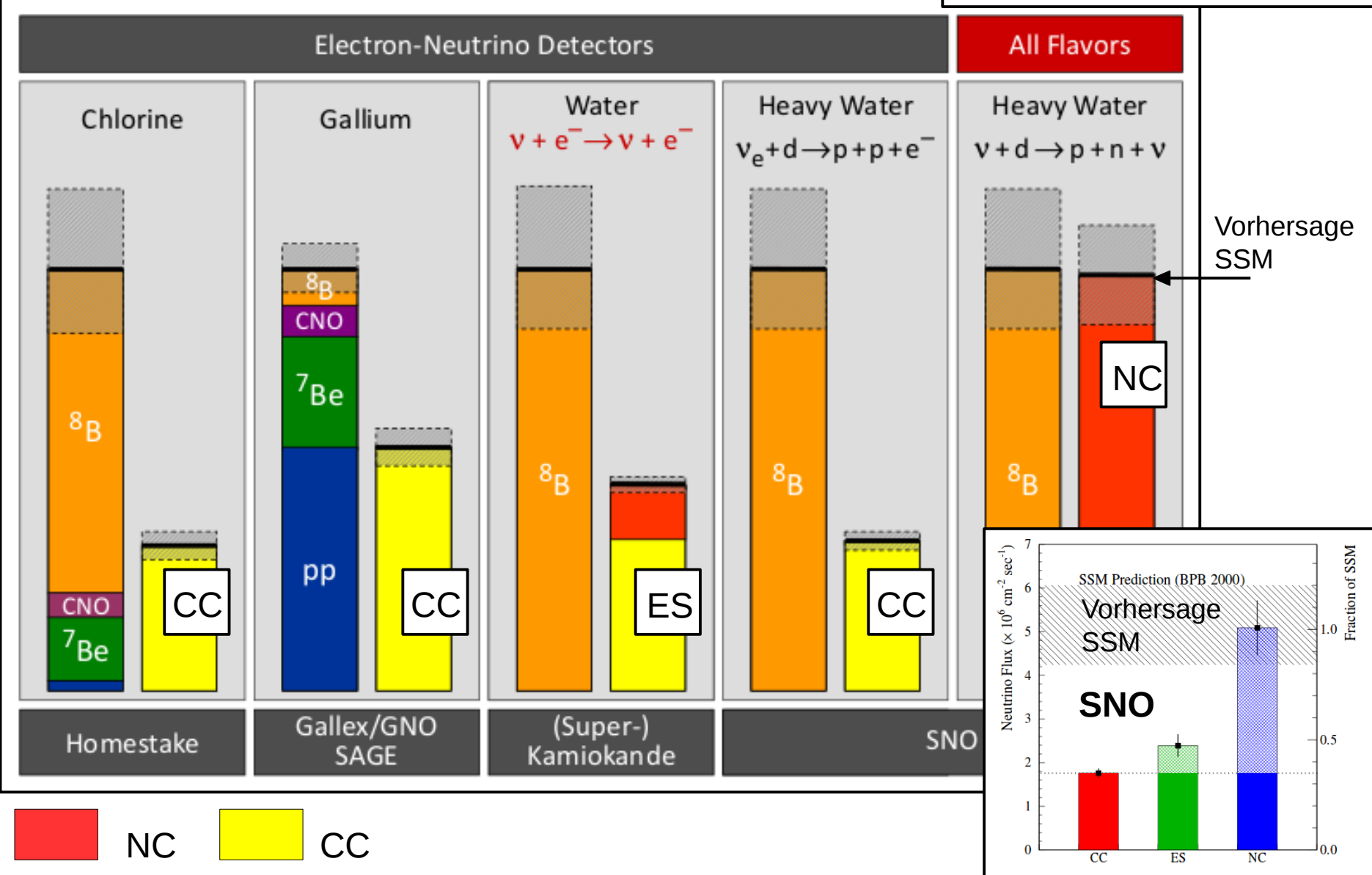
Unterscheidung NC und CC durch Gesamtenergie & radiale Energieverteilung des Signals

Ergebnis: Sonnenneutrinos



Ergebnis: Sonnenneutrinos

Beobachtung kompatibel mit $\nu_e \rightarrow \nu_{\mu,\tau}$



Neutrinoquellen

Neutrinos aus Urknall

- Hoher Fluß
- Niedrige Energie
- Noch nicht direkt nachgewiesen

Kernfusion in Sternen
& Supernovae

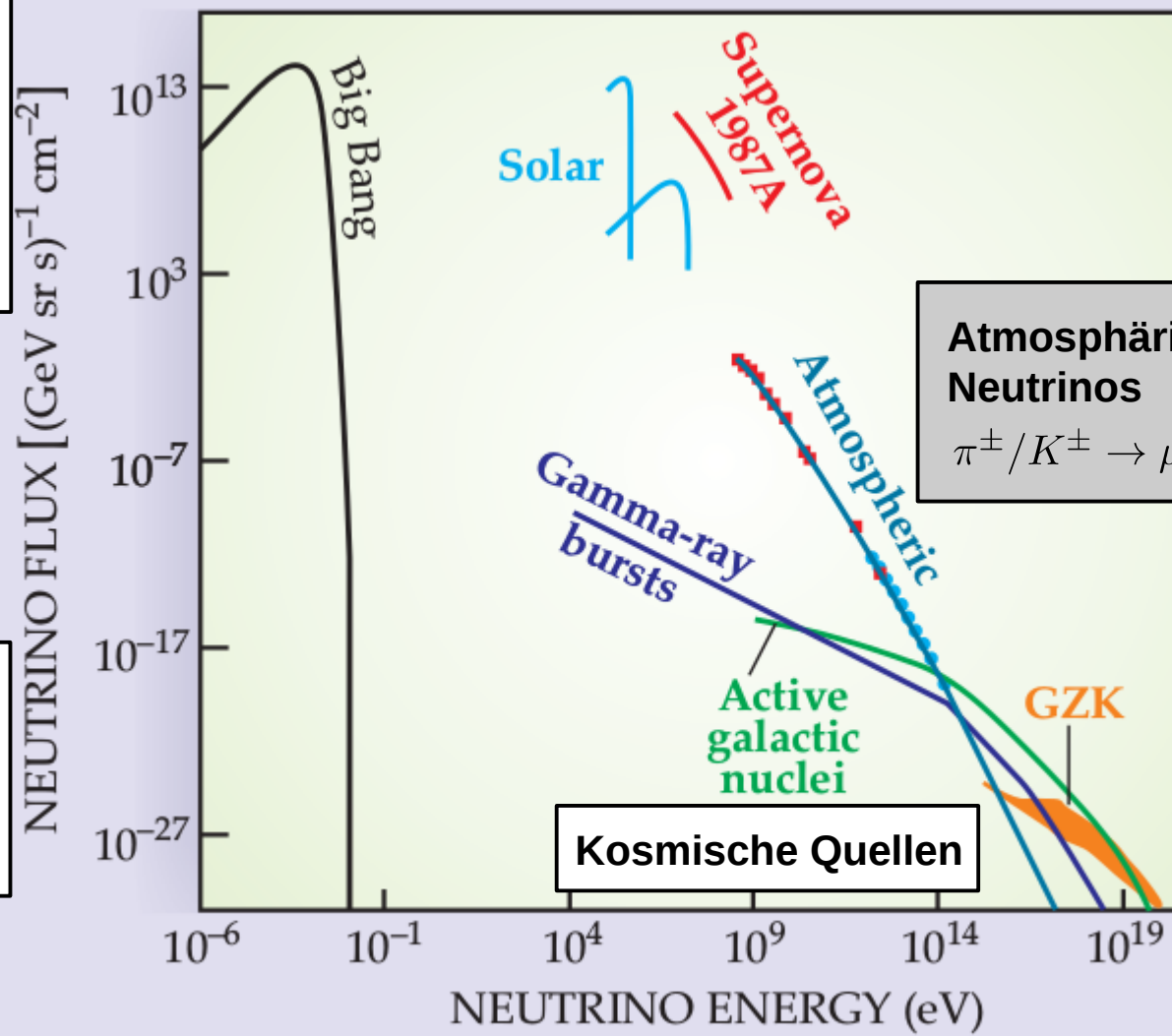
Menschliche Quellen

- Reaktorneutrinos
- Beschleuniger

Atmosphärische Neutrinos

$$\pi^\pm / K^\pm \rightarrow \mu^\pm \nu_\mu$$

Kosmische Quellen

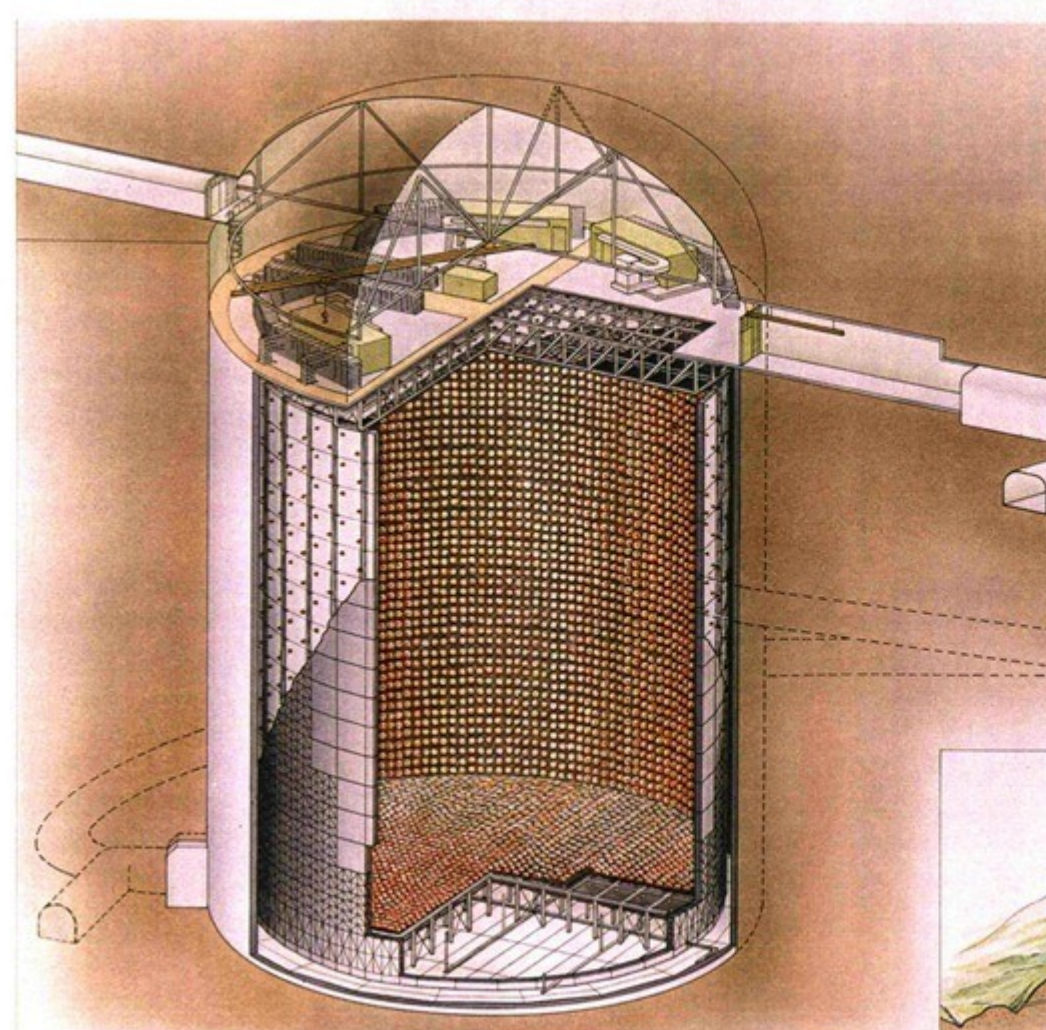


Atmosphärische Neutrinos

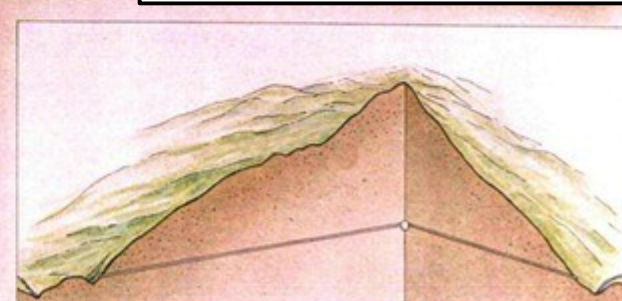
- Wechselwirkung kosmischer Strahlung mit Sauerstoff oder Stickstoff in oberer Atmosphäre (→ hadronischer Schauer vgl VL-06 Folie 24)
- Zerfallskette:
 $\pi \rightarrow \mu \nu_\mu$
 $\mu \rightarrow e \nu_e \nu_\mu$
- Neutrinoenergien:
0.5 – 50 GeV



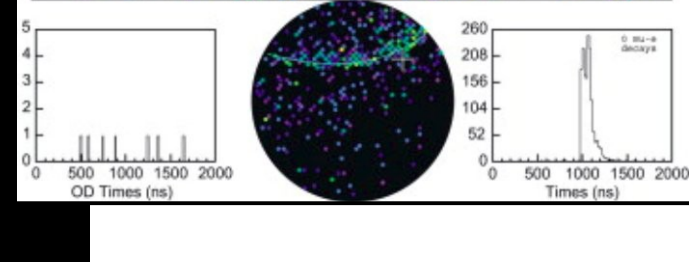
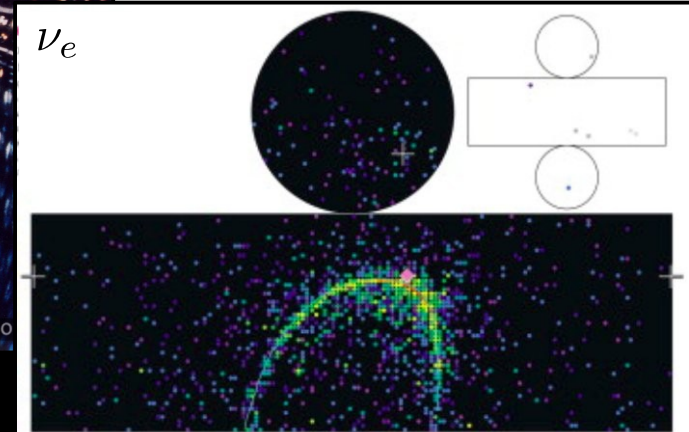
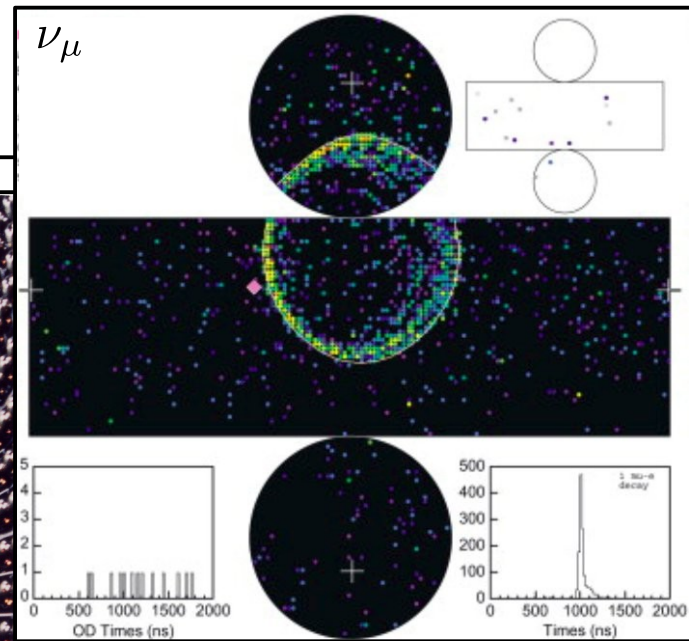
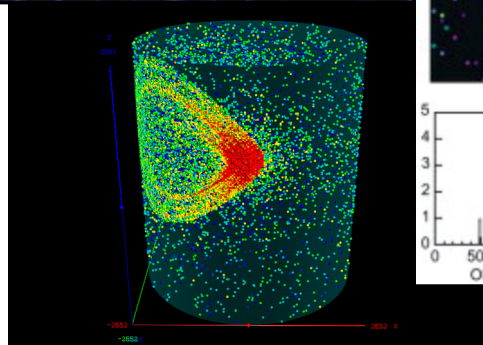
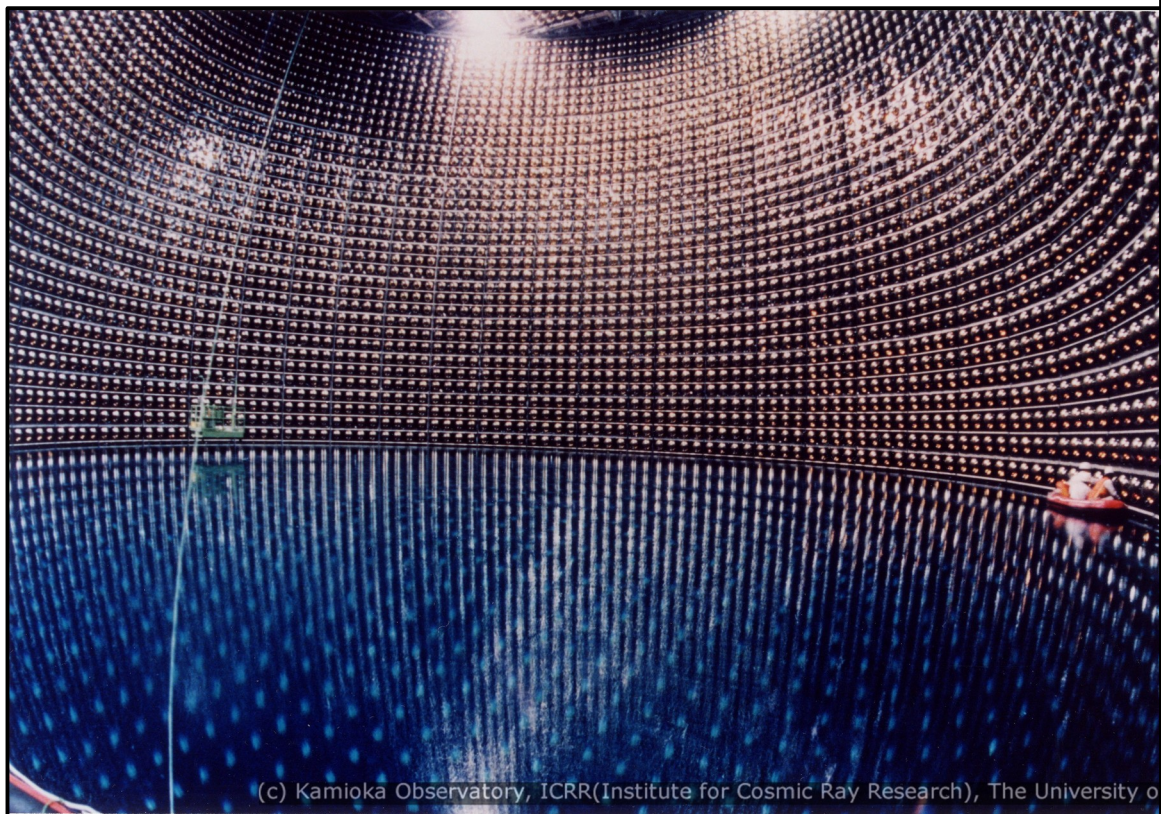
(Super-)Kamiokande Experiment



- Wasser Cherenkov Detektor
- 3000 (50'000) t Wasser
- 1000 (11'000) Photomultiplier zum Nachweis des Cherenkov-Lichts
- In Mozumi-Mine bei Kamioka (~1 km unter der Erde)
- Erwarte eine Reaktion alle 90 min



Kamiokande Ereignisse



Kamiokande Ergebnisse

- Beobachte Neutrinos von oben/unten

- **Beobachtung:**

ν_μ "verschwinden"

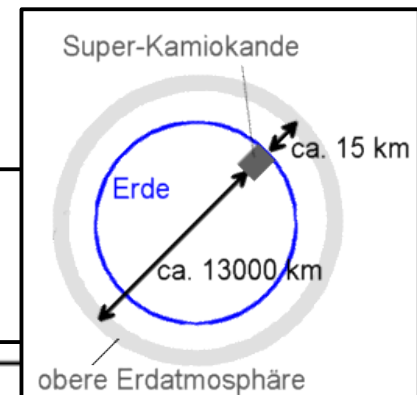
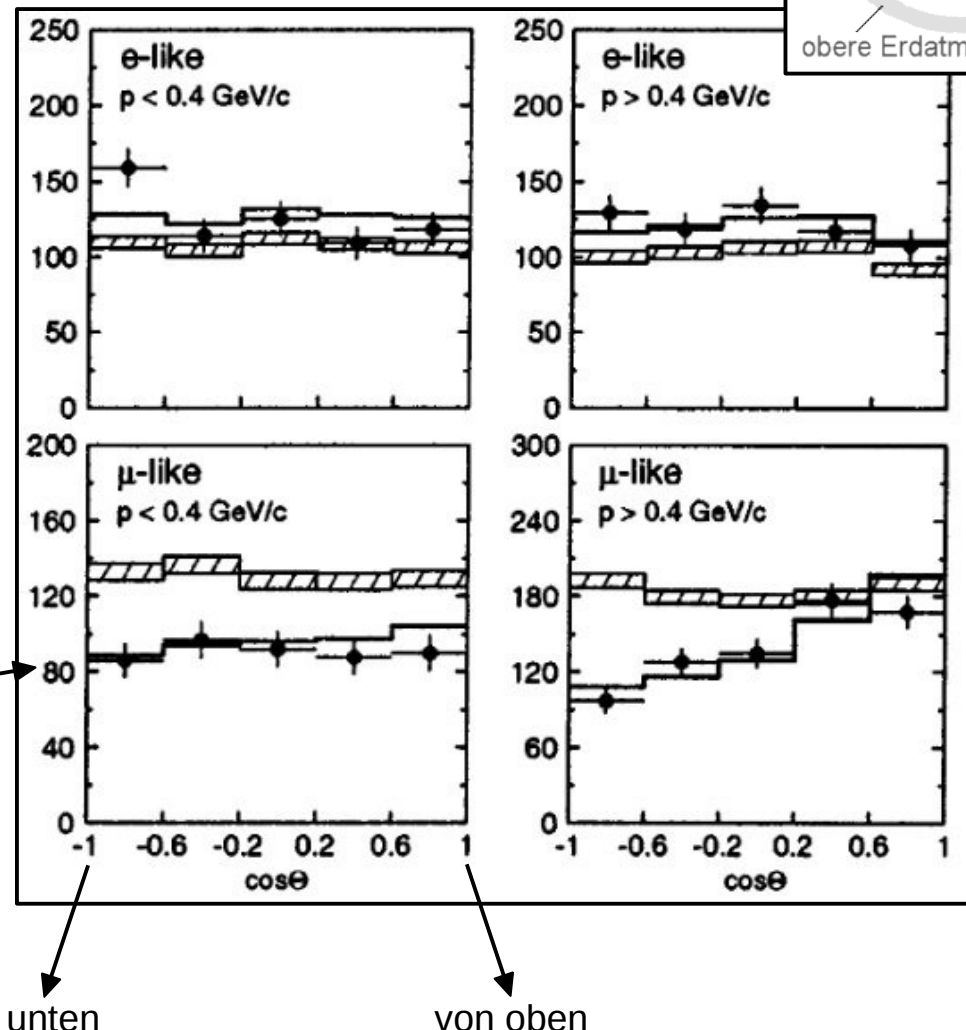
ν_e "verschwinden" nicht
bei Gang durch Erde

Beobachtung kompatibel
mit $\nu_\mu \rightarrow \nu_\tau$ Oszillation

Erwartung:

ohne Oszillation →

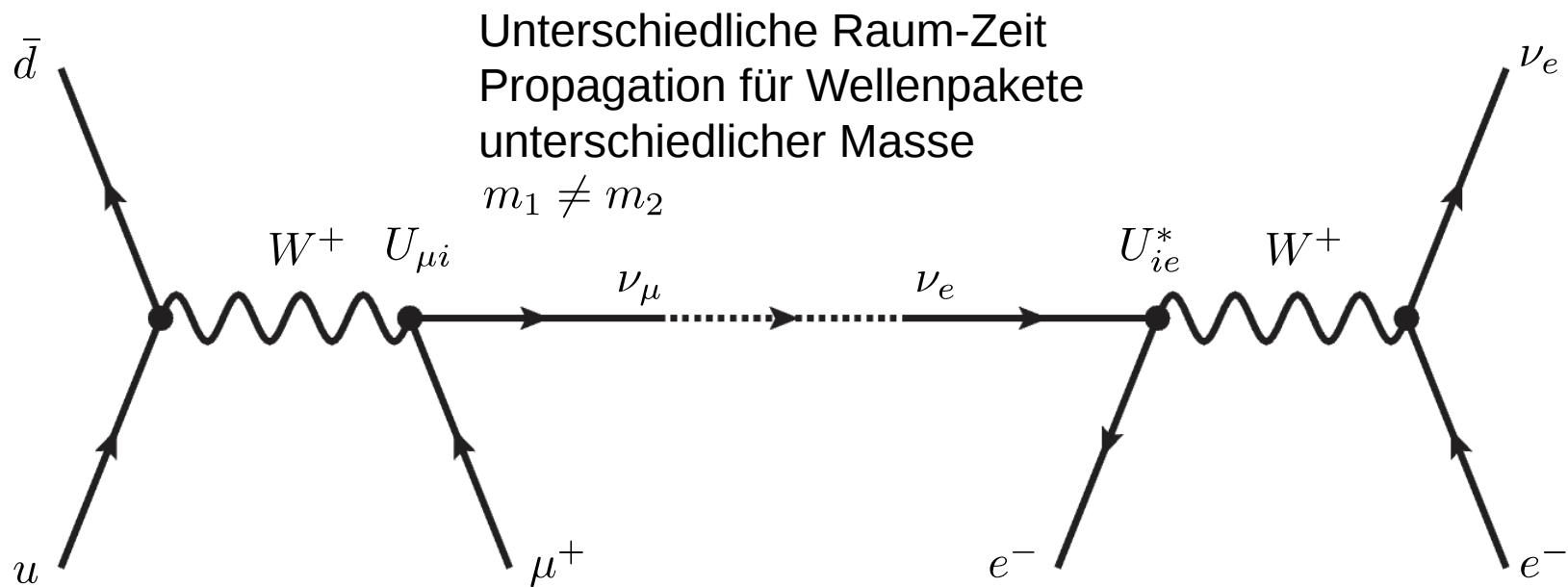
mit Oszillation



Neutrino-Oszillationen

$$\begin{pmatrix} \nu_1 \\ \nu_2 \end{pmatrix} = \begin{pmatrix} \cos \theta & \sin \theta \\ -\sin \theta & \cos \theta \end{pmatrix} \begin{pmatrix} \nu_e \\ \nu_\mu \end{pmatrix}$$

- **Masseneigenzustände \neq Flavoreigenzustände** \rightarrow Mischung (vgl VL-13)
- Produktion/Nachweis \rightarrow Flavoreigenzustände
- Propagation (in Vakuum) \rightarrow Masseneigenzustände



π^+ -Zerfall

CC Elektronstreuung

Neutrino-Oszillationen

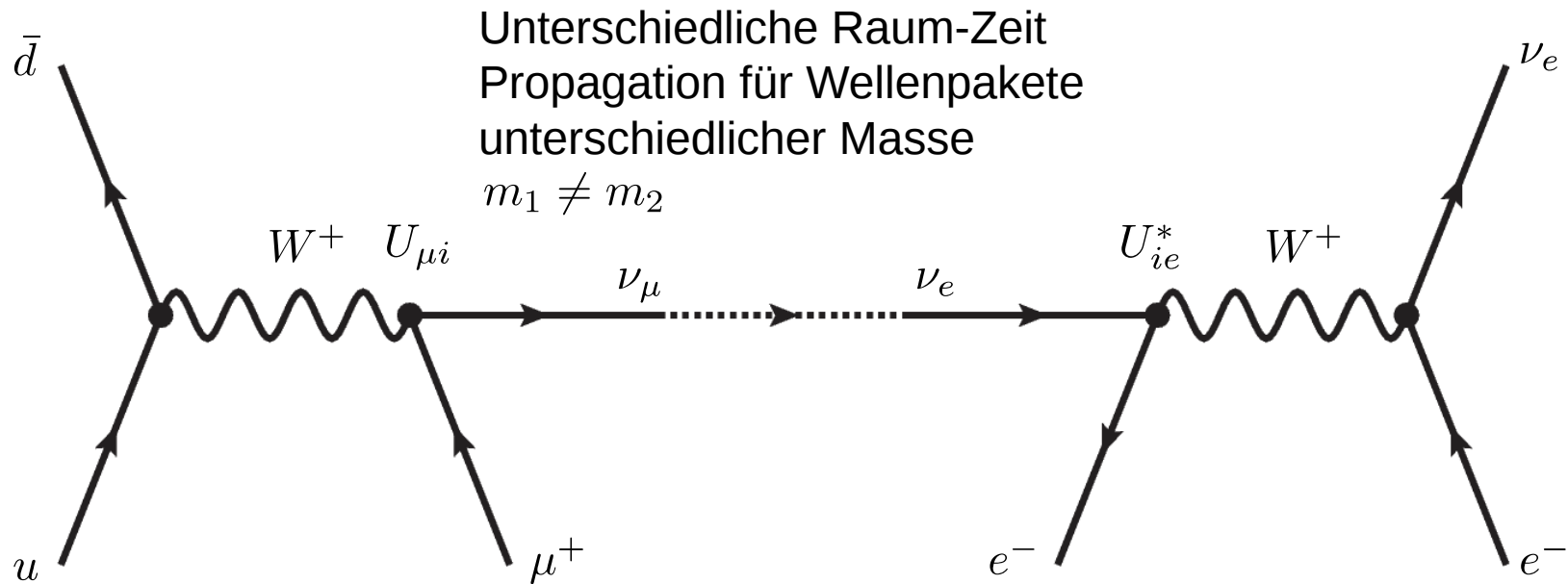
$$\begin{pmatrix} \nu_1 \\ \nu_2 \end{pmatrix} = \begin{pmatrix} \cos \theta & \sin \theta \\ -\sin \theta & \cos \theta \end{pmatrix} \begin{pmatrix} \nu_e \\ \nu_\mu \end{pmatrix}$$

- Masseneigenzustände \neq Flavoreigenzustände \rightarrow Mischung (vgl VL-13)

- Produktion/Nachweis \rightarrow Flavoreigenzustände

- Propagation (in Vakuum) \rightarrow Masseneigenzustände

Zusätzlich MSW-Effekt in Materie (CC in e^- -dichten Medien verändert effektive ν_e Masse)



π^+ -Zerfall

CC Elektronstreuung

Neutrino-Oszillationen: Vermessung

$$\begin{pmatrix} \nu_1 \\ \nu_2 \end{pmatrix} = \begin{pmatrix} \cos \theta & \sin \theta \\ -\sin \theta & \cos \theta \end{pmatrix} \begin{pmatrix} \nu_e \\ \nu_\mu \end{pmatrix}$$

- Masseneigenzustände \neq Flavoreigenzustände \rightarrow Mischung (vgl VL-13)
- Aus QM Betrachtung:

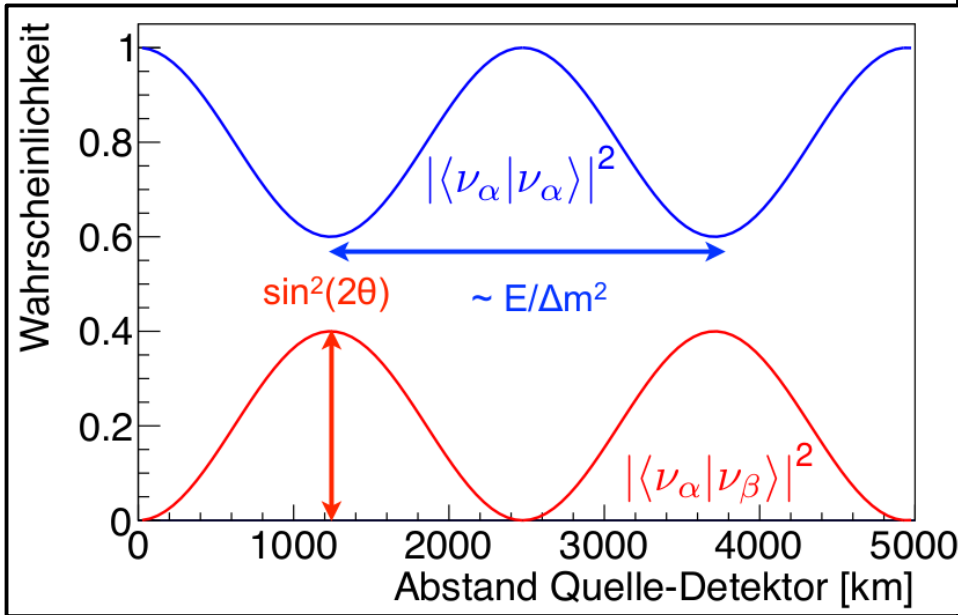
$$|\langle \nu_\alpha | \nu_\beta \rangle|^2 = |\langle \nu_\beta | \nu_\alpha \rangle|^2 = \sin^2(2\theta) \sin^2\left(\Delta m_{\alpha\beta}^2 \frac{L}{4E}\right)$$

Für zwei Generationen

$$= \sin^2(2\theta) \sin^2\left(1.27 \Delta m_{\alpha\beta}^2 \frac{L [\text{km}]}{E [\text{GeV}]}\right)$$

Gute Näherung für
 $\nu_\mu \rightarrow \nu_\tau$ und $\nu_e \rightarrow \nu_{\mu,\tau}$

Für zwei Generationen:



Hier: $E = 1 \text{ GeV}$ $\sin^2(2\theta) = 0.4$ $\Delta m_{\alpha\beta}^2 = 0.001 \text{ eV}^2$

Experimentelle Vorgabe:

- Neutrino-Energie
- Abstand Quelle-Detektor

Messung:

- Mischungswinkel $\sin^2(2\theta)$ (\rightarrow Amplitude)
- Quadrat der Massendifferenz $\Delta m_{\alpha\beta}^2$ (\rightarrow Frequenz)

PMNS-Matrix

- Äquivalent zur CKM Matrix (vgl VL-13)

Atmosphärische Oszillationen

$$\Delta m_{23}^2 \approx 2.4 \cdot 10^{-3} \text{ eV}^2$$

$$\theta_{23} \approx 45^\circ$$

v.a. $\nu_\mu \rightarrow \nu_\tau$

$$\begin{aligned}
 \mathcal{M}_{\text{PMNS}} &= \begin{pmatrix} 1 & 0 & 0 \\ 0 & c_{23} & s_{23} \\ 0 & -s_{23} & c_{23} \end{pmatrix} \cdot \begin{pmatrix} c_{13} & 0 & s_{13}e^{-i\delta_{13}} \\ 0 & 1 & 0 \\ -s_{13}e^{-i\delta_{13}} & 0 & c_{23} \end{pmatrix} \cdot \begin{pmatrix} c_{12} & s_{12} & 0 \\ -s_{12} & c_{12} & 0 \\ 0 & 0 & 1 \end{pmatrix} \\
 &= \begin{pmatrix} c_{12}c_{13} & s_{12}c_{13} & s_{13}e^{-i\delta_{13}} \\ -s_{12}c_{23} - c_{12}s_{23}s_{13}e^{i\delta_{13}} & c_{12}c_{23} - s_{12}s_{23}s_{13}e^{i\delta_{13}} & s_{23}c_{13} \\ s_{12}s_{23} - c_{12}c_{23}c_{13}e^{i\delta_{13}} & -c_{12}s_{23} - c_{12}c_{23}s_{13}e^{i\delta_{13}} & c_{23}c_{13} \end{pmatrix}
 \end{aligned}$$

$$c_{ij} = \cos \theta_{ij}; \quad s_{ij} = \sin \theta_{ij} \quad (ij = 12, 13, 23)$$

PMNS-Matrix

- Äquivalent zur CKM Matrix (vgl VL-13)

Atmosphärische Oszillationen

$$\Delta m_{23}^2 \approx 2.4 \cdot 10^{-3} \text{ eV}^2$$

$$\theta_{23} \approx 45^\circ$$

v.a. $\nu_\mu \rightarrow \nu_\tau$

$$\mathcal{M}_{\text{PMNS}} = \begin{pmatrix} 1 & 0 & 0 \\ 0 & c_{23} & s_{23} \\ 0 & -s_{23} & c_{23} \end{pmatrix} \cdot$$

Solare Oszillationen

$$\Delta m_{12}^2 \approx 7.6 \cdot 10^{-5} \text{ eV}^2$$

$$\theta_{12} \approx 35^\circ$$

$\nu_e \rightarrow \nu_{\mu,\tau}$ Mischzustand

$$\begin{pmatrix} c_{13} & 0 & s_{13}e^{-i\delta_{13}} \\ 0 & 1 & 0 \\ -s_{13}e^{-i\delta_{13}} & 0 & c_{23} \end{pmatrix} \cdot \begin{pmatrix} c_{12} & s_{12} & 0 \\ -s_{12} & c_{12} & 0 \\ 0 & 0 & 1 \end{pmatrix}$$

$$= \begin{pmatrix} c_{12}c_{13} & s_{12}c_{13} & s_{13}e^{-i\delta_{13}} \\ -s_{12}c_{23} - c_{12}s_{23}s_{13}e^{i\delta_{13}} & c_{12}c_{23} - s_{12}s_{23}s_{13}e^{i\delta_{13}} & s_{23}c_{13} \\ s_{12}s_{23} - c_{12}c_{23}c_{13}e^{i\delta_{13}} & -c_{12}s_{23} - c_{12}c_{23}s_{13}e^{i\delta_{13}} & c_{23}c_{13} \end{pmatrix}$$

$$c_{ij} = \cos \theta_{ij}; \quad s_{ij} = \sin \theta_{ij} \quad (ij = 12, 13, 23)$$

PMNS-Matrix

- Äquivalent zur CKM Matrix (vgl VL-13)

Reaktor Oszillationen

$$\Delta m_{13}^2 \approx 2.4 \cdot 10^{-3} \text{ eV}^2$$

$$\theta_{13} \approx 9^\circ$$

Atmosphärische Oszillationen

$$\Delta m_{23}^2 \approx 2.4 \cdot 10^{-3} \text{ eV}^2$$

$$\theta_{23} \approx 45^\circ$$

Solare Oszillationen

$$\Delta m_{12}^2 \approx 7.6 \cdot 10^{-5} \text{ eV}^2$$

$$\theta_{12} \approx 35^\circ$$

v.a. $\nu_\mu \rightarrow \nu_\tau$

$$\mathcal{M}_{\text{PMNS}} = \begin{pmatrix} 1 & 0 & 0 \\ 0 & c_{23} & s_{23} \\ 0 & -s_{23} & c_{23} \end{pmatrix} \cdot \begin{pmatrix} c_{13} & 0 & s_{13}e^{-i\delta_{13}} \\ 0 & 1 & 0 \\ -s_{13}e^{-i\delta_{13}} & 0 & c_{23} \end{pmatrix} \cdot \begin{pmatrix} c_{12} & s_{12} & 0 \\ -s_{12} & c_{12} & 0 \\ 0 & 0 & 1 \end{pmatrix}$$

$$= \begin{pmatrix} c_{12}c_{13} & s_{12}c_{13} & s_{13}e^{-i\delta_{13}} \\ -s_{12}c_{23} - c_{12}s_{23}s_{13}e^{i\delta_{13}} & c_{12}c_{23} - s_{12}s_{23}s_{13}e^{i\delta_{13}} & s_{23}c_{13} \\ s_{12}s_{23} - c_{12}c_{23}c_{13}e^{i\delta_{13}} & -c_{12}s_{23} - c_{12}c_{23}s_{13}e^{i\delta_{13}} & c_{23}c_{13} \end{pmatrix}$$

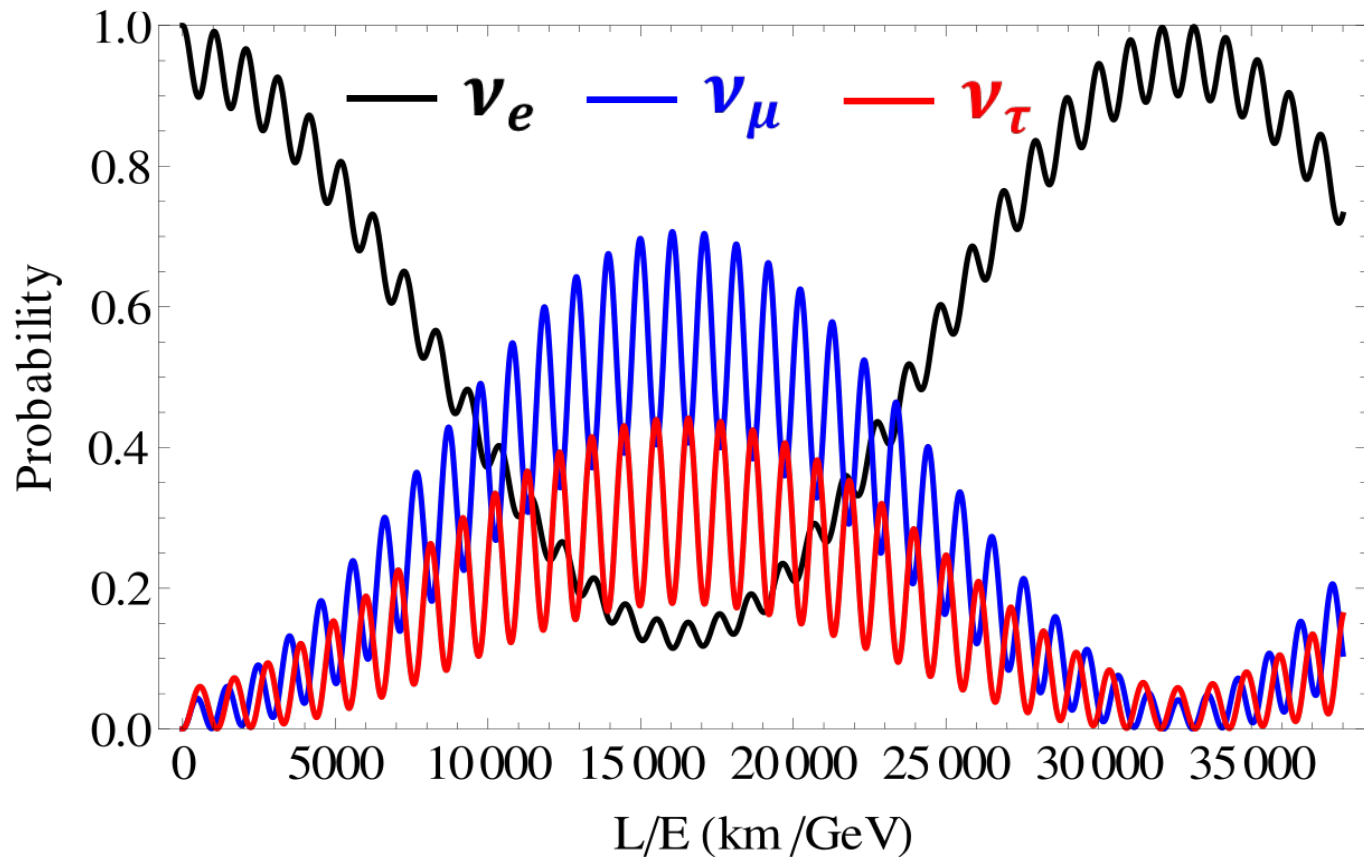
$$c_{ij} = \cos \theta_{ij}; \quad s_{ij} = \sin \theta_{ij} \quad (ij = 12, 13, 23)$$

Oszillation ursprüngliches ν_e

$$|\langle \nu_\alpha | \nu_\beta \rangle|^2 = \delta_{\alpha\beta} - 4 \sum Re (\mathcal{M}_{\alpha i}^* \mathcal{M}_{\beta i} \mathcal{M}_{\alpha j} \mathcal{M}_{\beta i}^*) \sin^2 \left(\frac{(m_i^2 - m_j^2) L}{4 E} \right)$$

$$+ 2 \sum Im (\mathcal{M}_{\alpha i}^* \mathcal{M}_{\beta i} \mathcal{M}_{\alpha j} \mathcal{M}_{\beta i}^*) \sin \left(\frac{(m_i^2 - m_j^2) L}{2 E} \right)$$

Herleitung
siehe [hier](#)

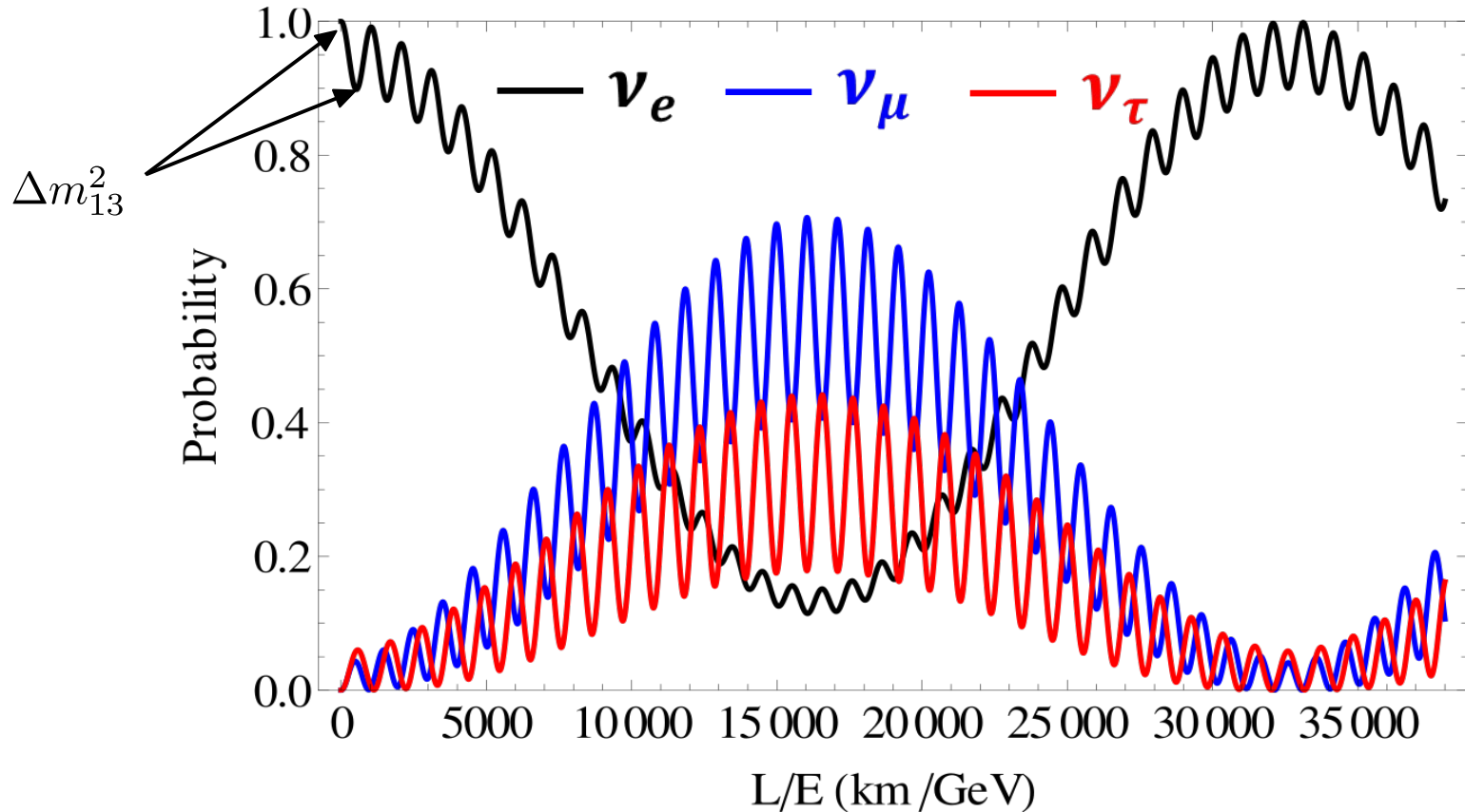


Oszillation ursprüngliches ν_e

$$|\langle \nu_\alpha | \nu_\beta \rangle|^2 = \delta_{\alpha\beta} - 4 \sum Re (\mathcal{M}_{\alpha i}^* \mathcal{M}_{\beta i} \mathcal{M}_{\alpha j} \mathcal{M}_{\beta i}^*) \sin^2 \left(\frac{(m_i^2 - m_j^2) L}{4 E} \right)$$

$$+ 2 \sum Im (\mathcal{M}_{\alpha i}^* \mathcal{M}_{\beta i} \mathcal{M}_{\alpha j} \mathcal{M}_{\beta i}^*) \sin \left(\frac{(m_i^2 - m_j^2) L}{2 E} \right)$$

Herleitung
siehe [hier](#)

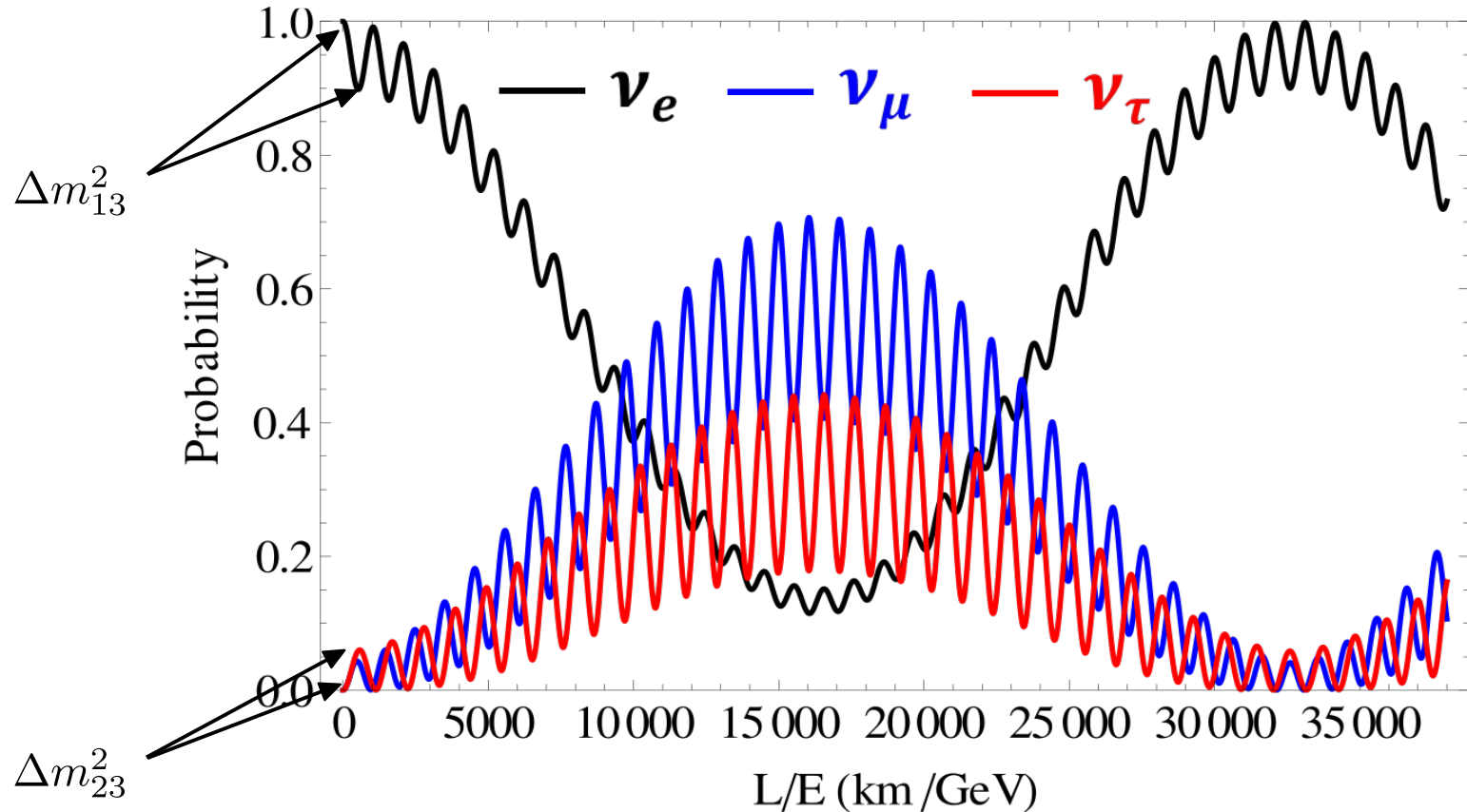


Oszillation ursprüngliches ν_e

$$|\langle \nu_\alpha | \nu_\beta \rangle|^2 = \delta_{\alpha\beta} - 4 \sum Re (\mathcal{M}_{\alpha i}^* \mathcal{M}_{\beta i} \mathcal{M}_{\alpha j} \mathcal{M}_{\beta i}^*) \sin^2 \left(\frac{(m_i^2 - m_j^2) L}{4 E} \right)$$

$$+ 2 \sum Im (\mathcal{M}_{\alpha i}^* \mathcal{M}_{\beta i} \mathcal{M}_{\alpha j} \mathcal{M}_{\beta i}^*) \sin \left(\frac{(m_i^2 - m_j^2) L}{2 E} \right)$$

Herleitung
siehe [hier](#)

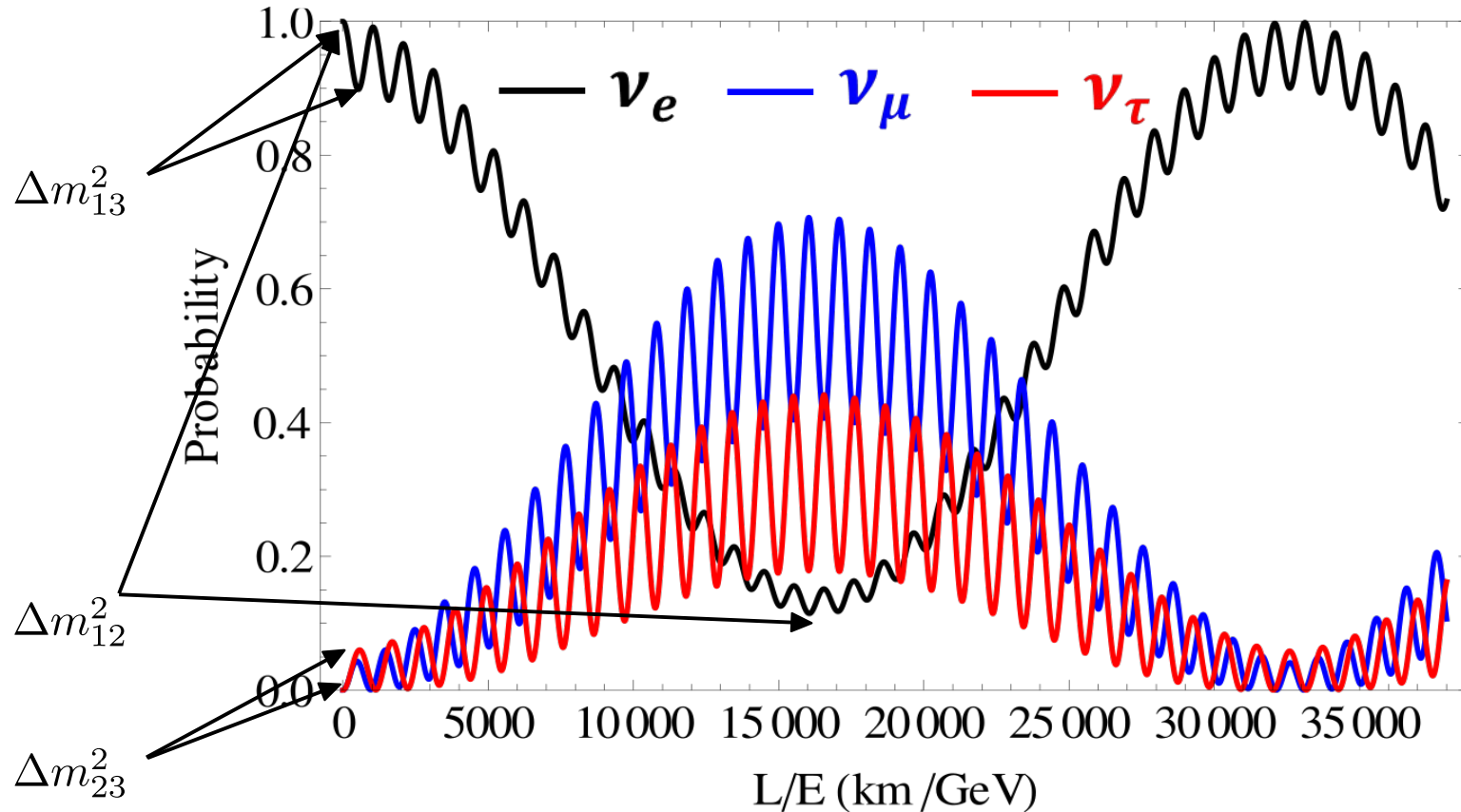


Oszillation ursprüngliches ν_e

$$|\langle \nu_\alpha | \nu_\beta \rangle|^2 = \delta_{\alpha\beta} - 4 \sum Re (\mathcal{M}_{\alpha i}^* \mathcal{M}_{\beta i} \mathcal{M}_{\alpha j} \mathcal{M}_{\beta j}^*) \sin^2 \left(\frac{(m_i^2 - m_j^2) L}{4 E} \right)$$

$$+ 2 \sum Im (\mathcal{M}_{\alpha i}^* \mathcal{M}_{\beta i} \mathcal{M}_{\alpha j} \mathcal{M}_{\beta j}^*) \sin \left(\frac{(m_i^2 - m_j^2) L}{2 E} \right)$$

Herleitung
siehe [hier](#)



Neutrino Experimente mit menschlichen Quellen

- Appearance/Disappearance



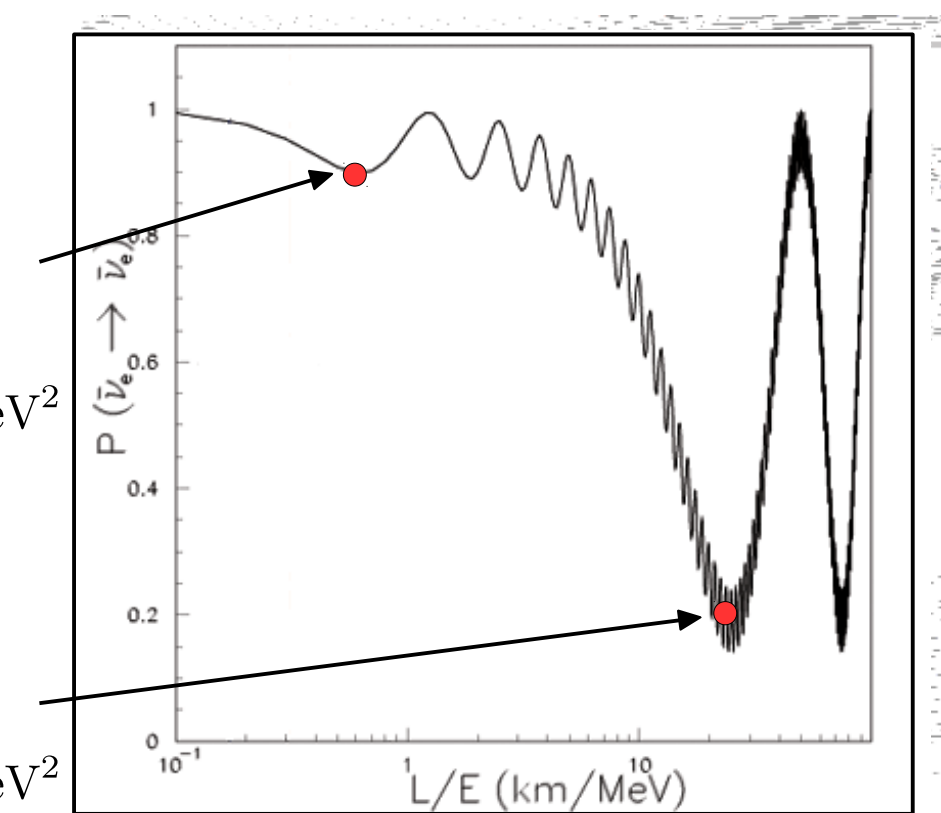
- Long/Short Baseline
- Ein Detektor nahe bei Quelle (=near), einer von Quelle entfernt (=far)

Atmosphärische Frequenz

$$\Delta m_{23}^2 = \mathcal{O}(10^{-3}) \text{ eV}^2$$

Solare Frequenz

$$\Delta m_{12}^2 = \mathcal{O}(10^{-5}) \text{ eV}^2$$



Neutrino Experimente mit menschlichen Quellen

- Appearance/Disappearance



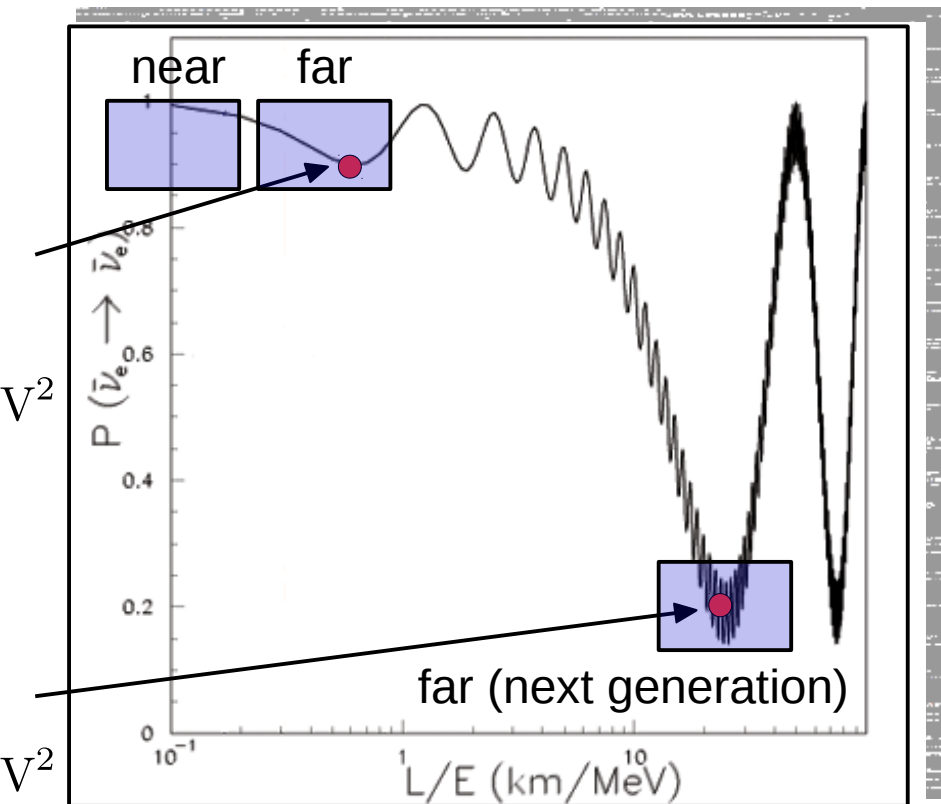
- Ein Detektor nahe bei Quelle (=near), einer von Quelle entfernt (=far)

Atmosphärische Frequenz

$$\Delta m_{23}^2 = \mathcal{O}(10^{-3}) \text{ eV}^2$$

Solare Frequenz

$$\Delta m_{12}^2 = \mathcal{O}(10^{-5}) \text{ eV}^2$$



Neutrino Experimente mit menschlichen Quellen

- Appearance/Disappearance



- Ein Detektor nahe bei Quelle (=near), einer von Quelle entfernt (=far)

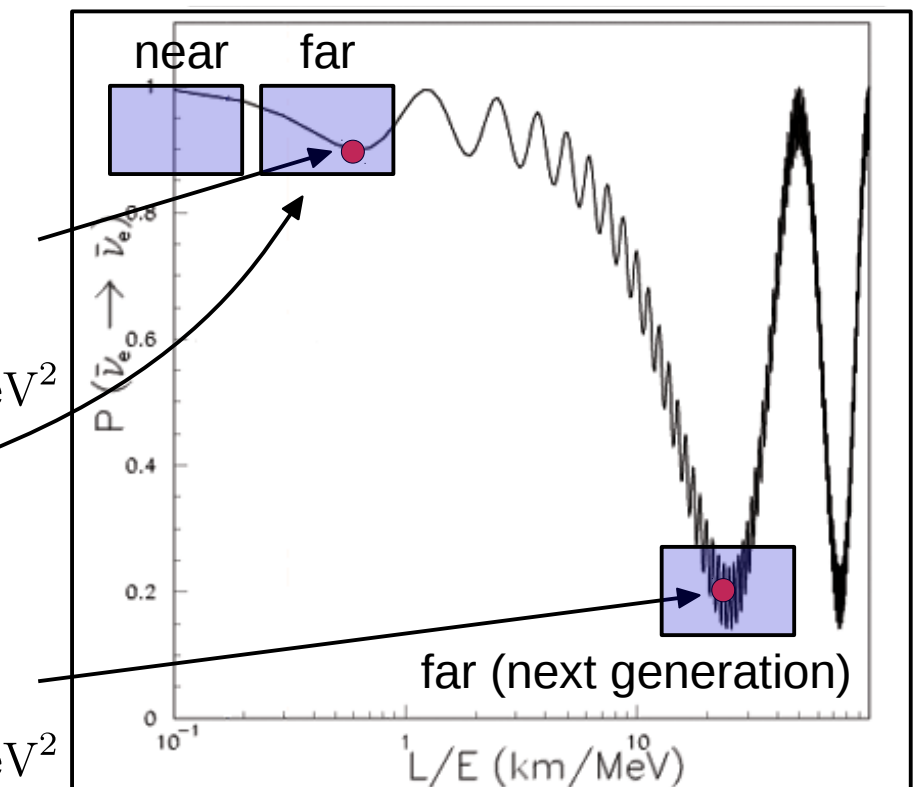
Atmosphärische Frequenz

$$\Delta m_{23}^2 = \mathcal{O}(10^{-3}) \text{ eV}^2$$

Schwund von ν_e nach $\nu_{\mu,\tau}$ in erster Halbperiode

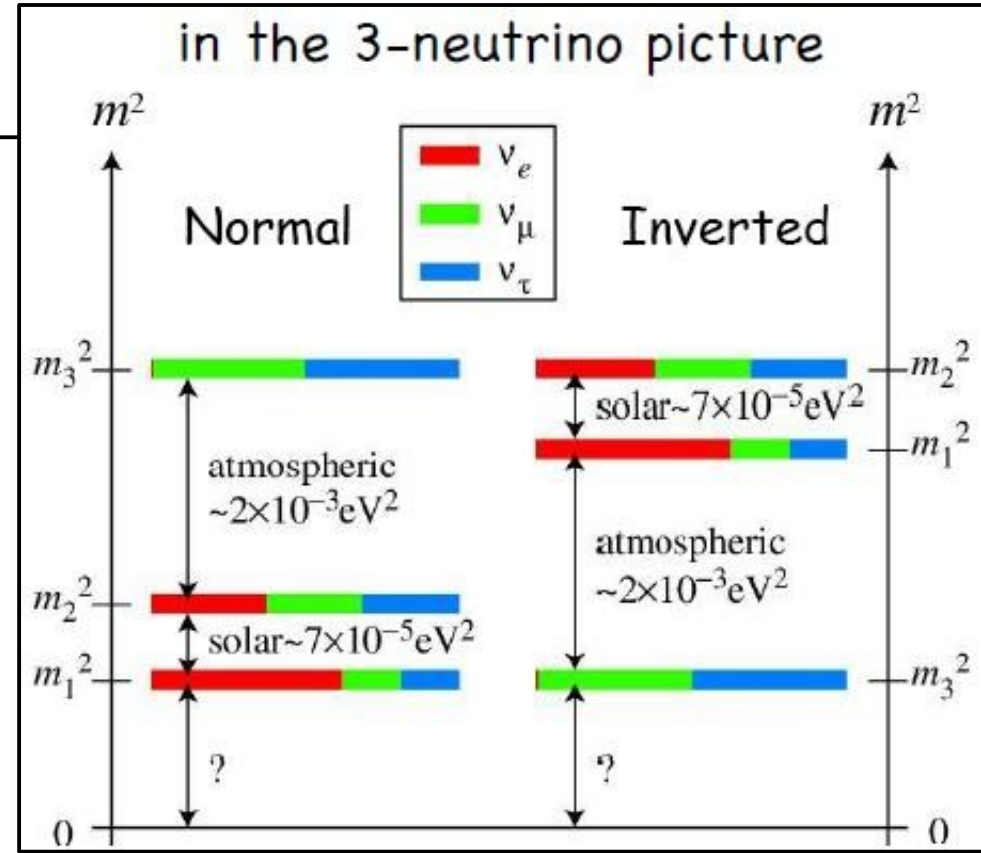
Solare Frequenz

$$\Delta m_{12}^2 = \mathcal{O}(10^{-5}) \text{ eV}^2$$



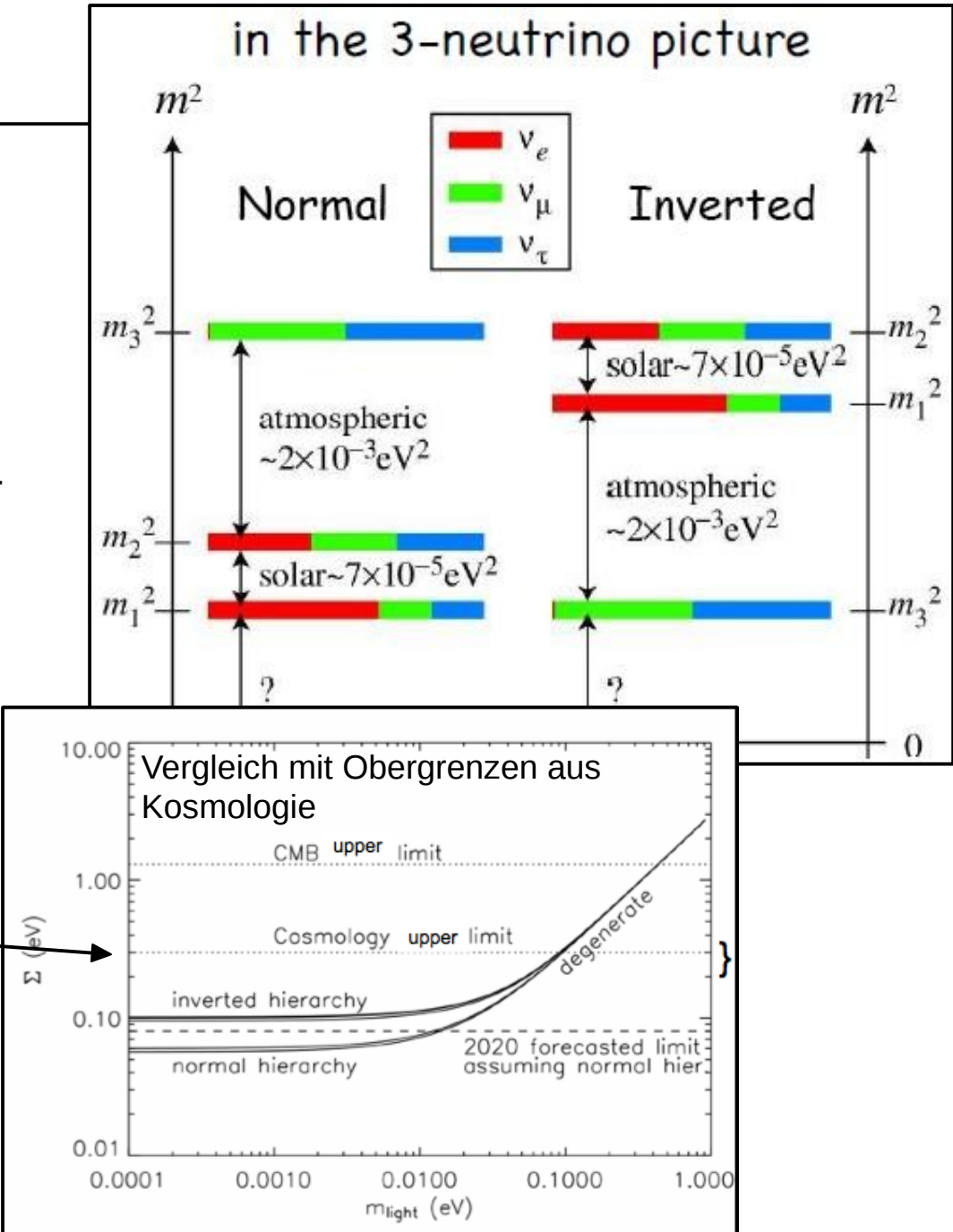
Massenhierarchie

- Keine Aussage über **Vorzeichen von** Δm_{ij}
- Verschiedene Anordnung der Masseneigenzustände möglich
- Erfordert direkte Bestimmung der Neutrinomasse
- Bisherige obere Schranke auf m_{ν_e} :
 $m_{\nu_e} < 2.2 \text{ eV (95\% CL)}$
- Ambition **KATRIN**
 $m_{\nu_e} < 0.2 \text{ eV (95\% CL)}$



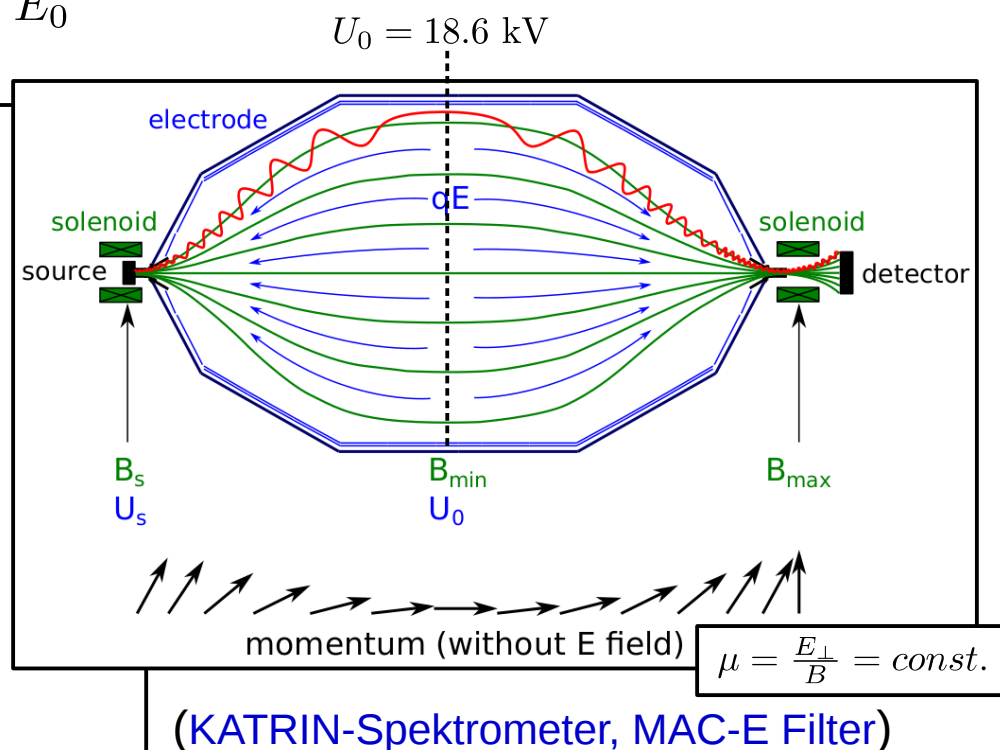
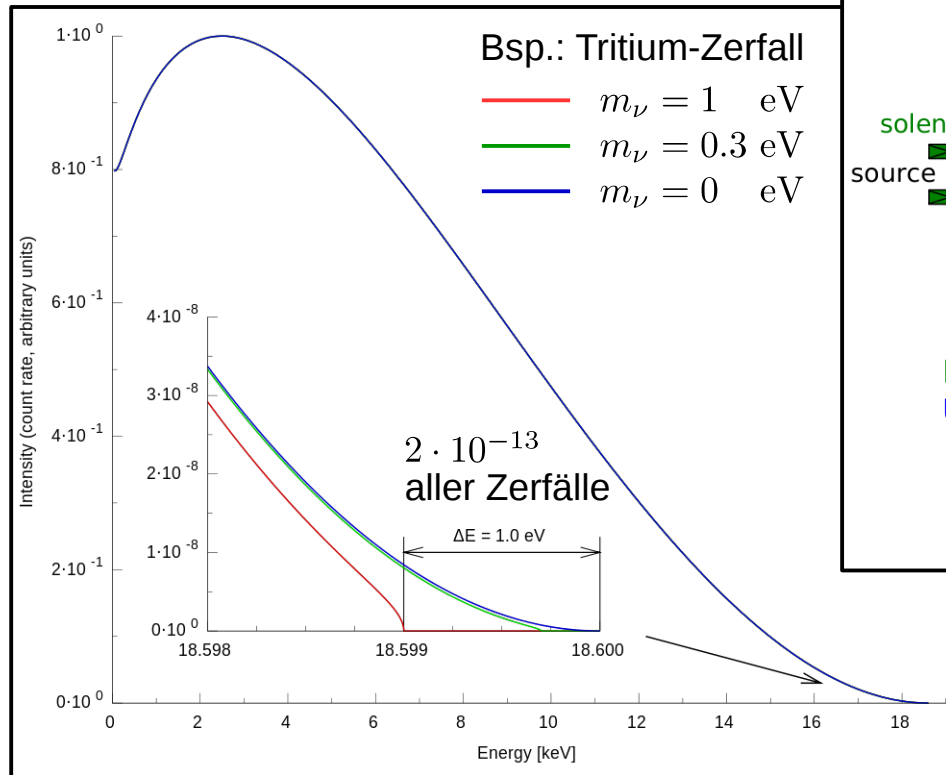
Massenhierarchie

- Keine Aussage über **Vorzeichen von** Δm_{ij}
- Verschiedene Anordnung der Masseneigenzustände möglich
- Erfordert direkte Bestimmung der Neutrinomasse
- Bisherige obere Schranke auf m_{ν_e} :
 $m_{\nu_e} < 2.2 \text{ eV (95\% CL)}$
- Ambition **KATRIN**
 $m_{\nu_e} < 0.2 \text{ eV (95\% CL)}$



Messung von m_ν^2

- Exakte Vermessung von E_e nahe bei E_0



$$\rho(E_0) = \frac{V^2}{(2\pi\hbar)^6} \cdot (4\pi)^2 \int_{m_e}^{E_0} E_e^2 \sqrt{1 - \frac{m_e^2}{E_e^2}} \cdot (E_0 - E_e)^2 \sqrt{1 - \frac{m_\nu^2}{(E_0 - E_e)^2}} dE_e \propto E_0^5$$

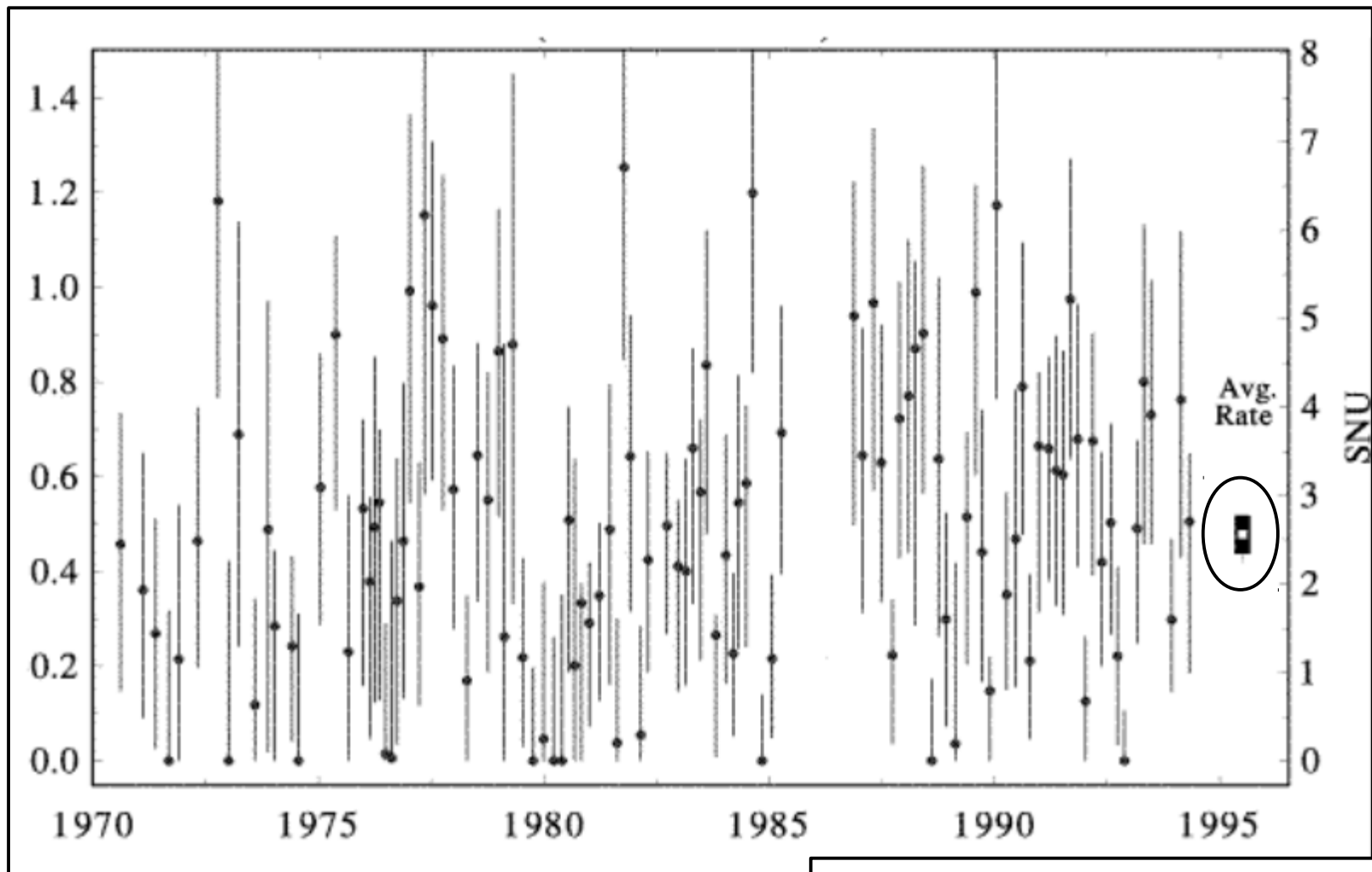
(Sargent-Regel)

Gliederung der Vorlesung

Vorlesung:	Vorlesungstag:	Übungsblatt:
VL-01 Einheiten, Relativistische Kinematik	Di 17.04.2018	-
VL-02 Teilchenstreuung	Do 19.04.2018	-
VL-03 Wirkungsquerschnitt	Di 24.04.2018	Blatt-01
VL-04 Teilchenbeschleunigung	Do 26.04.2018	-
Vorlesung fällt aus	Di 01.05.2018	Blatt-02
VL-05 Teilchennachweis durch Ionisation	Do 03.05.2018	-
VL-06 Elektromag. WW und Schauer	Di 08.05.2018	Blatt-03
Vorlesung fällt aus	Do 10.05.2018	-
VL-07 Detektoren der Teilchenphysik	Di 15.05.2018	Blatt-04
VL-08 Symmetrien und Erhaltungssätze	Do 17.05.2018	-
VL-09 Fundamentale Teilchen und Kräfte im SM	Di 22.05.2018	Blatt-05
VL-10 Diskrete Symmetrien des SM	Do 24.05.2018	-
VL-11 Teilchenzoo: vom Hadron zum Quark	Di 29.05.2018	Blatt-06
Vorlesung fällt aus	Do 31.05.2018	-
VL-12 Farbladung und QCD	Di 05.06.2018	Blatt-07
VL-13 Phänomenologie der schwachen WW	Do 07.06.2018	-
VL-14 Theorie der elektroschwachen WW	Di 12.06.2018	Blatt-08
VL-15 Higgs Mechanismus	Do 14.06.2018	-
VL-16 SM: Quarksektor	Di 19.06.2018	Blatt-09
VL-17 Top: Entdeckung und Eigenschaften	Do 21.06.2018	-
VL-18 Higgs: Entdeckung und Eigenschaften	Di 26.06.2018	-
VL-19 Neutrinosphysik	Do 28.06.2018	-

Backup

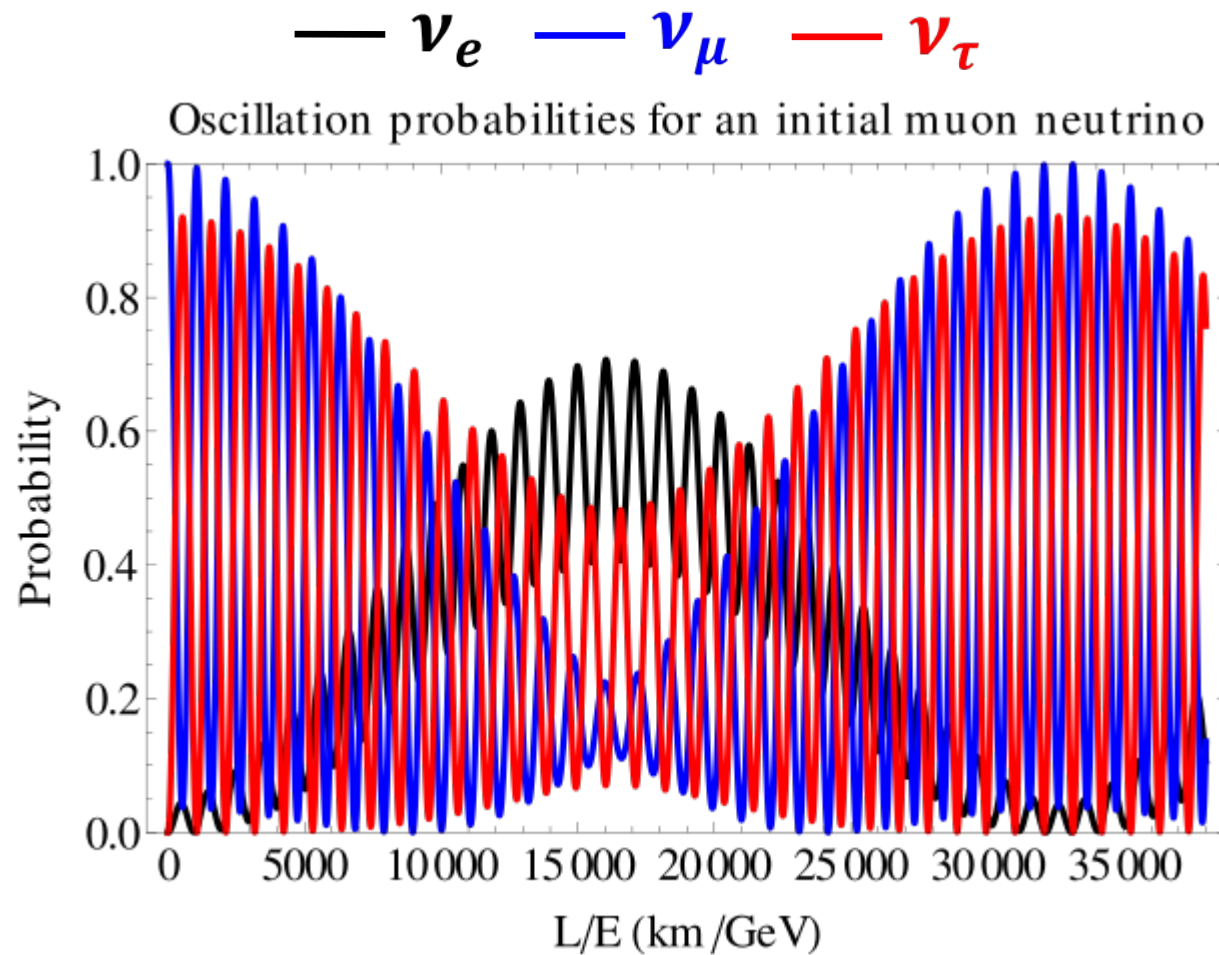
Homestake Experiment: >20 Jahre Messungen

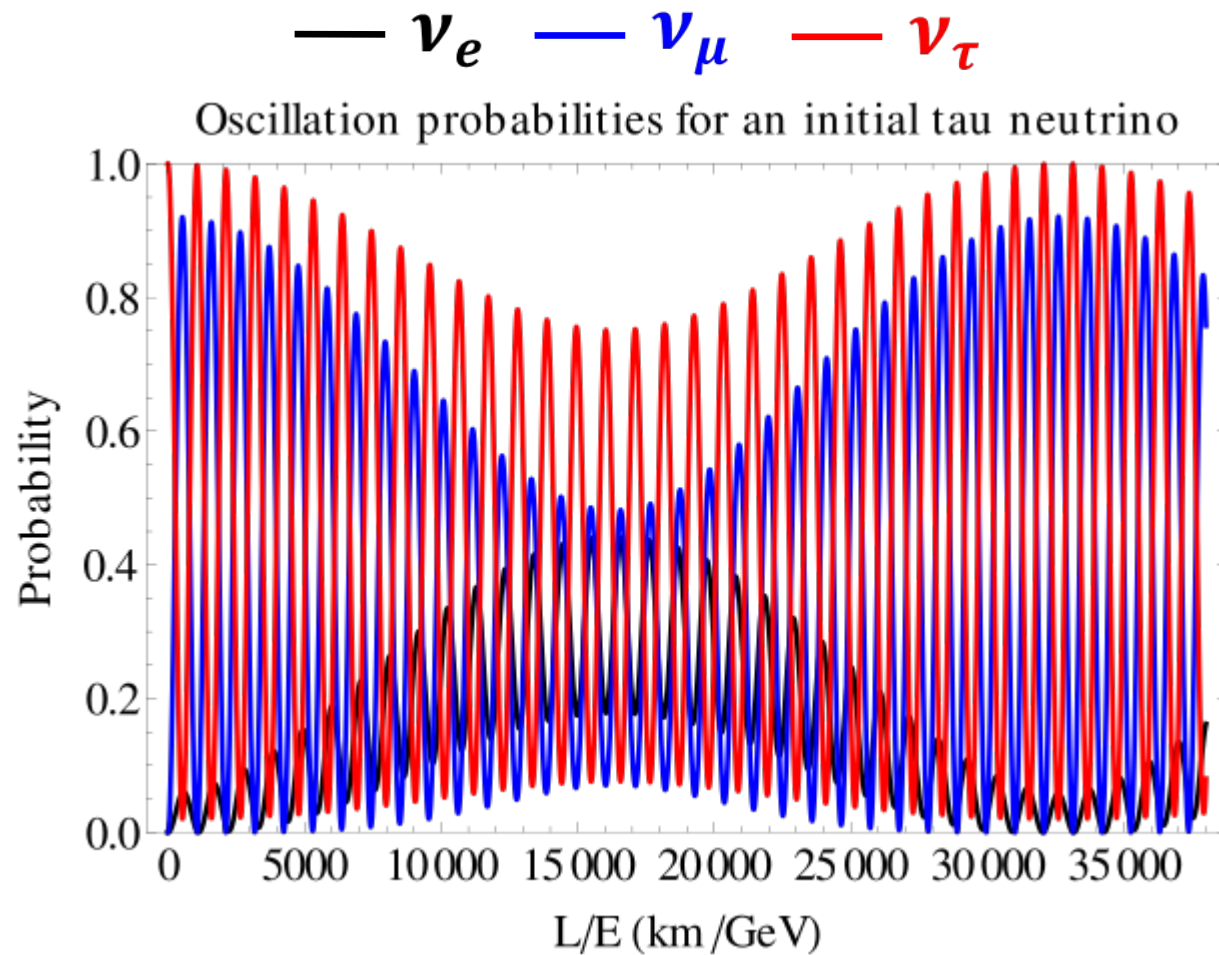


Year

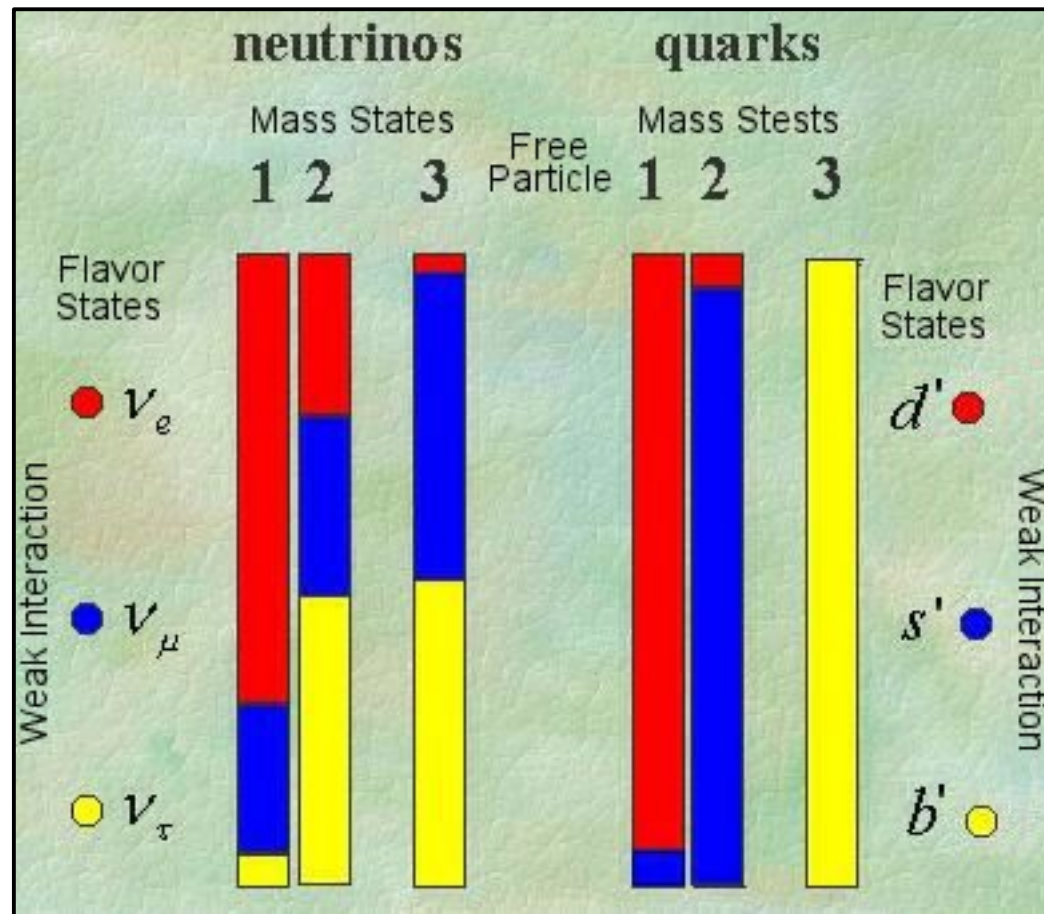
$$R(^{37}Cl) = 2.56 \pm 0.16 \pm 0.16 \text{ SNU}$$

$$R(SSM) = 7.6 \pm 1.3 \pm 1.1 \text{ SNU}$$





Vergleich: Flavor composition



β -Zerfallkonstante (Phasenraumfaktor)

- Aus Fermi's Goldener Regel (siehe SS-17 VL-03 Folie 14)

$$\lambda = \frac{1}{\tau} = \frac{2\pi}{\hbar} \underbrace{|\langle f | \mathcal{M}_{fi} | i \rangle|^2}_{\rho(E_0)} \downarrow$$

$$\begin{aligned} \rho(E_0) &\stackrel{(1)}{=} \int \frac{d^3 \vec{r}_e d^3 \vec{p}_e}{(2\pi \hbar)^3} \int \frac{d^3 \vec{r}_\nu d^3 \vec{p}_\nu}{(2\pi \hbar)^3} \\ &= \frac{V^2}{(2\pi \hbar)^6} \cdot (4\pi)^2 \int \int \delta(E_\nu - (E_0 - E_e)) \cdot p_e^2 \frac{dp_e}{dE_e} \cdot p_\nu^2 \frac{dp_\nu}{dE_\nu} dE_e dE_\nu \end{aligned}$$

mit

$$p_i = \sqrt{E_i^2 - m_i^2} \quad \frac{dp_i}{dE_i} = \frac{E_i}{p_i}$$

$$\begin{aligned} \rho(E_0) &= \frac{V^2}{(2\pi \hbar)^6} \cdot (4\pi)^2 \int \int \delta(E_\nu - (E_0 - E_e)) \sqrt{E_e^2 - m_e^2} E_e \sqrt{E_\nu^2 - m_\nu^2} E_\nu dE_e dE_\nu \\ &= \frac{V^2}{(2\pi \hbar)^6} \cdot (4\pi)^2 \int_{m_e}^{E_0} E_e^2 \sqrt{1 - \frac{m_e^2}{E_e^2}} \cdot (E_0 - E_e)^2 \sqrt{1 - \frac{m_\nu^2}{(E_0 - E_e)^2}} dE_e \propto E_0^5 \end{aligned}$$

Sargent-Regel:

$$T_{1/2} \propto E_0^{-5}$$

d.h. je größer die frei werdende kinetische Energie, desto schneller der Zerfall

(1) Zweikörperphasenraum (\rightarrow unter Vernachlässigung Rückstoß Tocherkern)

(Sargent-Regel)